

Высокую Науку великой Цивилизации изучить нельзя, не зная потенциала поля света с поверхностью 36 и полярными вихрями с потенциалом  $\pm 666$ . Но **правлящая сегодня в Социуме Человека Закулиса**, оболгала поле с потенциалом 666, назвав его Числом Сатаны.

Высокую Науку великой Цивилизации изучить нельзя, не понимая Сущности Полей с потенциалом 13.

Но, **развращающая и уничтожающая, стравливающая и насилюющая Род Человеческий Закулиса** придала числу 13 фетиш рокового числа, прибавив ему название **Чёртова дюжина**.

Высокая Наука великой Цивилизации - открытая Книга Знаний для любого Носителя Разума, написанная во Благо сегодняшним и грядущим поколениям Социума Земли.

Но, **уничтожающая идущих на Землю во младенчестве, зомбируя уже пришедших во имя Зла, Закулиса** сегодняшнего Социума Земли **открытую Книгу Знаний сделала Тайной Доктриной**. Работу над Знаниями облачила в сверкающее тряпье **Секретных Мистерий**. Зачем? Во имя чего? До коли?

Ответ был дан **Сыном Могущественного на Белой Лошади десять миллионов лет назад: пока Священный Свет не засияет так ярко, что каждый враг будет виден вашим глазам [2]**.

А пока: Змей соблазняет, Адам с Евой учатся не есть яблоки Познания; их потомков дерут, как сидоровых коз во имя золотого тельца.

Нравится так жить? Живите!

Такое распределение электронов в Q слое и элементов в седьмом периоде (5.115, табл.5.19) соответствует распределению 58 Божеств в голове Человека: 26 Божеств в левом и 26 Божеств в правом полушариях головного мозга.

Пульсация Космоса в полях с потенциалами 26:

$$26 \cdot \int_0^1 \varphi d\varphi = 13 \Leftrightarrow -13 \equiv 26 \cdot \int_1^0 \varphi d\varphi, \quad (5.116)$$

приводит к отсчёту Продолжительностей по 13-ти Лунному Календарю Цивилизации Майи.

Резонанс, возникающий в тринадцати лунном поле, формирует базисные Продолжительности Единого Космоса в Арупе и Рупе (5.94):

<b>Базисные Продолжительности Единого Космоса</b>	
$13 \cdot (-13) = -13^2 \equiv 12^2 + 5^2 \equiv 12^2 + 4^2 + 3^2 \equiv$ $(T_0 \cdot \tau)^2 + \mathbf{5}^2 \equiv (T_0 \cdot \tau)^2 + T_0^2 + \tau^2,$ <p style="text-align: center;">где 5 - пятеричная энергия связи и переход от резонанса к антирезонансу:</p> $\mathbf{5}^2 \equiv (12 - 7)^2 \equiv (T_0 \cdot \tau - T_0 \cdot -\tau)^2.$	(5.117)

Потенциал  $13^2$  создаёт возмущенная квантом 26 среда в поле Дзиан-дробь:

$$\left( \pm \int_0^1 \varphi d\varphi \right)^{26} \int_0^1 \varphi d\varphi = \frac{26^2}{2} \left( \pm \frac{1}{2} \right) = \pm 169 = 13^2, \quad (5.118)$$

а далее великая Цивилизация, опираясь на Книгу Дзиан (Дробь) раскрывает Человечеству высокую Науку о Космогенезисе, Антропогенезисе, Переменах и Перевоплощениях.

**Сгущение** спектрального поля Света сначала в фононы, затем в фотоны, электрон - позитроны и массы Атомов протекает при наличии разности потенциалов.

Разность потенциалов между цис-транс изомерическим фононами формирует электронные слои в структурах Атомов: эти слои обозначаются как К, L, M, N, O, P, Q и распределение их **изучено современной наукой**. Вне поля зрения нашей науки остался очевидный факт: разность числа электронов двух соседних инертных газов равна числу элементов в периоде между этими газами (табл.5.19).

Таблица 5.19

**Электроны инертных газов  
и число элементов в периодах**

Фононы - электронные слои атома	К	L	M	N	O	P	Q
Периоды системы Менделеева	1	2	3	4	5	6	7
Инертные газы	He <sup>2</sup>	Ne <sup>10</sup>	Ar <sup>18</sup>	Kr <sup>36</sup>	Xn <sup>54</sup>	Rn <sup>86</sup>	X <sup>112</sup>
Разность электронов	0 - 2 = -2	2 - 10 = -8	2 - 10 = -8	10-18 = -8	18-36 = -8	36-54 = -8	86-112 = -8
Число элементов в периодах	два: водород-гелий	восемь	восемь	восемь-надцать	восемь-надцать	тридцать два	двадцать шесть
Примечание	Конкретные элементы смотрите в табл.5.1.						

Периодическая Система в седьмом Периоде имеет 26 элементов (табл.5.19).

Седьмой Период имеет цис-транс изомерию:

$$86 - 112 = -26 \Leftrightarrow +26 = 112 - 86. \quad (5.115)$$

<b>Взаимодействия в инертных газах (табл.5.18)</b>		
Изомерия	Левизна	Правизна
Разности (5.99)	$(110-76)+(76-36)+$ $(36-0) = 24+40+36 =$ $100 \equiv \rho_5^2$	$-(110-76)-(76-36)-$ $(36-0) = -24-40-36 =$ $-100 \equiv -\rho_5^2$
Электроны гелия (табл.5.18)	$-(100+100 = 200) \cdot \rho_2^2 = -2,$ где за счёт $\rho_2^2 = 10^{-2}$ атомы отвердевают	
Позитроны гелия	$+(100+100 = 200) \cdot \rho_2^2 = +2.$	

(5.113)

Эти разности потенциалов обожествлены:  $110-76=24$  - трон Христа на Небе окружен 24 Пресвятыми Престолами (Откровения);  $76-36=40$  - Сокровенная Сороковица (Христианство), Свабхават О (Индуизм);  $36-0=36$  - Свет - квадрат Кундалини.

\*\*

Создав два электрона и два позитрона гелия (5.113), цис-транс изомерические фононы сгущаются, формируя массу атома гелия, равную  $A_{\text{He}} = 4$ .

В поле трёхмерного Пространства с электрон-позитронным облаком гелия возникают взаимодействия света с эффективностью  $\rho_5^2 = 10^{x+y+z=3}$ .

Излучаемая фиолетовая волна и её эквивалент:

$$(A_{\text{He}} \cdot \rho_5^3 \equiv 4000) \equiv 4000 \text{ \AA} \equiv \lambda_{\text{ф}}, \quad (5.114)$$

где переходы описаны Пирамидами и Кругом Универсума (рис.5.2).

\*\*

Поля масс элементов и их спектральных волн взаимосвязаны как в Едином Космосе, так и в его пылинке, в том числе в группе инертных газов.

Появление этой **разности криптона** происходит в полях цис-транс изомерии электрон-позитрон, что влечёт за собой новую разность - эквивалент квадрату резонансной Продолжительности Рупы - Арупы:

$$T_0^2 \tau^2 \equiv \Delta k_r - (-\Delta k_r) \equiv 72 - (-72) = 144 = 12^2 \equiv 4^2 \cdot 3^2. \quad (5.111)$$

Потенциал 72 обожествляется в секретных мистери-ях иудеев Древности [3].

\*  
\*\*

Задолго до древних Иудеев электрон-позитронную разность  $112 - 2 = 110$  обожествляли на Востоке как 110 Божеств тела Человека.

Свои сведения Философия Даоса брала из Книги Мёртвых, данной нам великой Цивилизацией.

Книга Мёртвых описывала разности в полях встречных энергетических вихрей в живом.

Встречные энергетические вихри электрон-позитронов создают в инертных газах разности потенциалов  $\pm 110$ ,  $\pm 76$ ,  $\pm 36$  и  $\pm 0$  (5.109).

Сумма этих разноимённых потенциалов равна нулю:

$$(110-110)+(76-76)+(36-36)\pm 0 \equiv \pm 4 \cdot 0 \equiv T_0 \cdot 0. \quad (5.112)$$

**Возникает антирезонансное равновесие Хаоса с ноль-потенциалом, в котором вращение участка волны света с периодичностью  $T_0 = 4$  не прекращается (5.112).**

В этом равновесном Хаосе (5.112) взаимодействия солнечного света (за счёт разностей потенциалов) достигают квадрата первоначальной величины:

Таблица 5.18

**Девятая группа Семи Элементов инертных газов**

Сумма электронов: <b>318</b>	Гелий	Неон	Аргон	Криптон	Ксенон	Радон	X
	He <sup>2</sup>	Ne <sup>10</sup>	Ar <sup>18</sup>	Kr <sup>36</sup>	Xn <sup>54</sup>	Rn <sup>86</sup>	X <sup>112</sup>
ФОТОНЫ: m <sub>c</sub> *	250	1250	2250	4500	6750	10750	14000
	Сумма ≡ 318 : 0,008 = 39750						
Фононы	2000	10000	18000	36000	54000	86000	112000
	Сумма ≡ 318·1000 ≡ 318000.						

В поле инертных газов (табл.5.18) энергетическая асимметрия будет формироваться за счёт цис-транс изомерической разнонаправленности вихрей позитронов и электронов. Эпицентром асимметрии является криптон (табл.5.18).

<b>Энергетическая асимметрия в группе инертных газов</b>							
Элементы	Гелий	Неон	Аргон	Криптон	Ксенон	Радон	X <sup>112</sup>
Электроны	2	10	18	36	54	86	112
Позитроны	112	86	54	36	18	10	2
Суммы	114	96	72	72	72	96	114
	-110	-76	-36	0	+36	+76	+110.

Разнонаправленность полей с суммарными электрон-позитронными потенциалами приводит к формированию разности, равной

$$\Delta k_r = (114+96+72)\pm 72 - (72+96+114) = \pm 72. \quad (5.110)$$

\*

\*\*

Трёхмерную резонансную Рупу - Арупу (5.107) связывает поле с потенциалом  $588 = 21 \cdot 28$ .

Поле с потенциалом  $21 \cdot 28$  - это резонансный гравитационный зародыш, излучающий полярные вихри с потенциалом  $\pm 21$ , разность которых даёт 42 Божества твоего Сердца (Книга Мёртвых).

В поле Материи биологической Жизни полярные вихри с потенциалами  $\pm 21$  формируют цис-транс антирезонансную изомерию пульсирующей субструктуры биоклетки:

<b>Полярные вихри с потенциалами <math>\pm 21 \cdot 28</math> и пульсирующая материнская субструктура биоклетки</b>		
Поля	Полярные вихри	Пульсирующая суб-структура
В гравитации Луны	$\pm 588 \equiv \pm 21 \cdot 28$	$\pm [21 = 5 \leftrightarrow 7 \leftrightarrow (9+0)] \cdot 28$
Равновесие	$\pm 1 \equiv$	$\pm 21 \cdot 28 : [5+7+(9+0)] \cdot 28$ .

(5.108)

### 5.7 Группа инертных газов.

#### Их влияние на число элементов в периодах

Последним элементом в Периодической Системе является инертный радиоактивный газ с порядковым номером 112, то есть имеющий 112 электронов.

Группа инертных газов состоит из семи элементов, каждый из которых завершает периоды Системы (табл.5.18).

Поле типа (5.105) будет последовательно образовывать: гравитационно-электрические поля субструктур (9+0); магнитоэлектрические поля и воду; свет и резонанс  $T_0^2 \cdot \tau^2 = 144$  (табл.5.17).

Таблица 5.17

**Квантованные изменения энергетических Форм (5.105)**

№№	1	2	3	4
Поля	Субструктура (9+0), гравитация, электричество	Вода (м.в.18) - плазма, магнетизм, электричество	Семь пальм и свет	Оболочка резонансного поля Рупы-Арупы
Потенциалы	$\frac{\rho^2}{q^2} \equiv \dots \equiv \frac{7^2}{4^2}$ $\Leftrightarrow (9+0)$	$\frac{\mu\mu^*}{2\sqrt{qq^*}} \equiv \frac{7^2}{8}$ $= 18$	$7 \cdot \frac{7}{4} \Leftrightarrow 36$	$7^2 \Leftrightarrow 144 \equiv 12^2$ $(T_0 + \tau)^2 \Leftrightarrow T_0^2 \tau^2$

\*

\*\*

Квантованные изменения энергетических Форм (табл.5.17) протекают на фоне излучений актиноидов, потенциал которых равен излучению Святого Духа, то есть волнового поля с потенциалом  $24 \equiv 12 \cdot 2 \equiv \rho/\mu \cdot T_0 \tau$ .

Вездесущее поле Святого Духа сместит поля под оболочкой (табл.5.17) и создаст резонансную Рупу - Арупу трёхмерного Пространства:

<b>Формирование Святым Духом резонансной Рупы - Арупы трёхмерного Пространства</b>	
Пульсация под оболочкой	Трёхмерное Пространство
$7^2 \cdot 24 \Leftrightarrow 12^2 \cdot 24$ , где $24 \equiv 3 \cdot 8 \equiv \tau T_0 c / \omega_0$ - импульс расширения Арупы-Рупы	$7^2 \cdot 24 / 2 \equiv 588 \Leftrightarrow 12^3 \equiv (T_0 \cdot \tau)^3$ , где $3 \equiv x+y+z \equiv \tau$ , - координаты в Арупе.

(5.107)

Но мы, уважаемый Читатель, знаем, что разность

$$(1,7 - 1,3 = 0,4) \cdot 10^{-13} \text{ см} = 4000 \cdot 10^{-17} \text{ см}, \quad (5.104)$$

формируется точечным участком волны света, а структура его пульсации описана Кругом Универсума [5]. Причём волна в  $4000 \text{ \AA}$  является фиолетовой волной. Самой короткой волной в спектре света.

\*\*

Между редкоземельными и радиоактивными **элементами** возникает поле перехода с неравновесным состоянием пульсации (табл.5.15):

$$\dots \equiv \frac{\rho\rho^*}{qq^*} \equiv \frac{7^2}{4^2} \Leftrightarrow (9+0). \quad (5.105)$$

Это поле формирует заряды - импульсы и смещает энергию системы в отношении 9 : 1 от центра Системы (Зародыша) к её Поверхности: **магнитная энергия как в Недрах Земли стремится от Центра к внутренним слоям литосферы. В Живом возникает субструктура (9+0) материнской биоклетки.**

Пульсация типа (5.105) будет инициироваться делением поступающих в Зародыш гравитационных зарядов на два магнитных, где двойка - эквивалент постоянной всех Пяти Форм взаимодействий:

<b>Гравитационно-магнитный митоз: базисный процесс взаимодействий</b>		
Поля	Зародыш	Среда перехода
Потенциалы	$\frac{\rho}{\mu} \equiv \frac{\rho^*}{\mu^*} \equiv \sqrt{\frac{\rho\rho^*}{\mu\mu^*}} = 2$	$\equiv \lg \rho_1 \rho_2 \rho_3 \rho_4 \rho_5.$

(5.106)

**Электроны участники лантаноидного сжатия и  
дефекта масс ядерных реакций**

Процессы		Дефект масс в актиноидах	Лантаноидное сжатие
Электроны пар		$A_1 \equiv 7 \cdot 128 = 896$	$A_2 \equiv 12 \cdot 200 = 2400$
Эквиваленты массовому числу			
Дефект масс	При $F_m^{10}$	$(A_1 - 100)^2 \cdot 10^{-2} = 6336,16$	$(A_2 - 100)^2 \cdot 10^{-2} = 52900$
	Общий	$[(A_1 - 100)^2 \cdot 10^{-2} - 64] \cdot 10^3 = 6272160 \equiv \Delta_1$	$[(A_2 - 100)^2 \cdot 10^{-2} - 64] \cdot 10^3 = 52836000 \equiv \Delta_2$
Свечение (рис.5.4)		$k_1 = \Delta_1 \cdot 7/4 = 1097530$	$k_2 = \Delta_2 \cdot 4/7 = 30192000$
$k_2 : k_1 \approx 27,5.$			

\*\*

Переход между лантаноидами и актиноидами связан не только с появлением пальмы и электрогравитационной пульсации (табл.5.16).

$$\frac{7}{4} \equiv \sqrt{\frac{\rho\rho^*}{qq^*}} \Leftrightarrow \sqrt{\frac{qq^*}{\rho\rho^*}} = \frac{4}{7}. \quad (5.102)$$

Эту пульсацию инициирует пульсация точечного участка волны света, протекающая с периодичностью  $T_0 = 4$ .

Наша наука, **зомбированная** Золотым Тельцом, ядерные процессы не понимает полностью. Она даже не понимает, что поверхности ядер пульсируют по длине и амплитуде волн. Поэтому ситуацию в ядре наша наука описывает так [9]: **радиус ядра носит условный смысл. Эмпирическая формула для радиуса ядра:**

$$R = R_0 A^{1/3}, \quad \text{где } R_0 = (1,3 \div 1,7) \cdot 10^{-13} \text{ см}. \quad (5.103)$$

\*

\*\*

Заряды и гравитация возникают там, где возникает пальма, то есть в области перехода между актиноидами и лантаноидами (табл.5.15).

В группе редкоземельных элементов появляется **аномалия лантаноидного сжатия; в группе ядерно-радиоактивных элементов формируется аномалия дефекта масс при ядерных реакциях.**

Однако это аномалии наших Парадигм - Иллюзий о Структуре Единого Космоса и его Ядра. В Природе никаких аномалий нет. Отсутствие аномалий подтверждает **эмпирически полученная формула дефекта масс ( $\Delta m$ ) в ядерных реакциях [9]:**

$$\Delta m \approx [0,01(A - 100)2 - 64] \cdot 10^{-3} \text{ а.е.м}, \quad (5.100)$$

где  $A$  - число нуклонов (пара протон-нейрон), связанных с массой ( $M$ ) атома:  $A = M - \Delta m$ .

В этой эмпирической формуле (5.100) есть числа 100 и 64, но мы выяснили, что эти числа описывают количество электронов непарных элементов: 100 электронов фермия (табл.5.13) и 64 электрона гадолиния (табл.5.14).

Используя вместо гипотетических массовых чисел с гипотетическими протон - нейтронами (нуклонами), группы парных элементов, мы можем связать дефекты масс с электронами групп (табл.5.16).

Дефект масс в ядерных реакциях и лантаноидное сжатие объединяет динамика пульсации Свечения Тонкой Энергии (рис.5.4, табл.5.16).

$$\frac{k_2}{k_1} \mp \int_0^1 \varphi d\varphi = 27,5 \pm 0,5 \rightarrow 27 \Leftrightarrow 28, \quad (5.101)$$

где разность  $28 - 27 = 1$  в один электрон будет соответствовать 1000 фононам. Эта тысяча есть в формуле (5.78).

**Лантаноидно - радиоактивная связь**

Элементы и их связь	Лантаноиды	Переход	Актиноиды
	Антирезонанс		Резонанс
Число групп	$7 \equiv T_0 + \tau$	$12 - 7 = 5$	$12 \equiv T_0 \cdot \tau$
Отношение электронов пар к непарным элементам	$K_L \equiv 7 \cdot 126/64 = 14$ $\equiv \sqrt{\mu\mu^*}$ (магнетизм)	$14/24 \Leftrightarrow 24/14$ $(7/4)^2 \Leftrightarrow (9+0)$	$K_a \equiv 12 \cdot 200/100 = 24 \equiv 3 \cdot 8$ (Святой Дух)
		Пальма   Суб- в $\Leftrightarrow$ структура квдрате   биоклетки	
Отношение в фононах	$10^3 K_L = 14000$		$10^3 K_a = 24000.$

Вывод (табл.5.15): **отношение фотон - электронов в лантаноидах с 14000 фононов, сгущая фононы, рождает инертный газ  $X^{112}$ , в котором появляются 14000 фотонов, так как**

$$112/m_c^* = 112/0,008 = 14000 \text{ фотонов.} \quad (5.98)$$

Над фотонами инертного газа  $X^{112}$  (5.98) возникает электронное облако, то есть облако фононов, которое создаёт гравитацию:

<b>Гравитация и заряды над инертным газом 112</b>	
Гравитация	Заряды
$\Gamma \equiv \frac{112}{m_c^{**}} \left( \pm \int_0^1 \varphi d\varphi \right) \equiv 112/0,002 \cdot (\pm 1/2) = 28 \cdot 10^3$	$3 \equiv T_0 \Gamma = 4 \cdot 28 \cdot 10^3 \equiv 112 \cdot 10^3 \equiv (7 \sqrt{qq^*} \equiv 8 \sqrt{\mu\mu^*} \equiv 4 \sqrt{\rho\rho^*}) \cdot 10^3.$

(5.99)

\*

\*\*

Аномалия пятнадцати элементов редкоземельной группы, состоит в том, что по мере роста порядкового номера элемента величина его радиуса уменьшается. Эту аномалию назвали по имени лантана лантаноидным сжатием.

Лантаноиды формируются также по лунно-солнечному принципу в семь пар со 128 электронами, 16000 фотонами и 128000 фононами в каждой паре. Непарным остаётся гадолиний с 64 электронами, 8000 фотонами и 64000 фононов (табл.5.14).

Таблица 5.14

**Группа редкоземельных элементов:  
лантаноидное сжатие**

Группы	I	II	III	IV	V	VI	VII	Нет пары
Элементы	La <sup>57</sup>	Ce <sup>58</sup>	Pr <sup>59</sup>	Nd <sup>60</sup>	Pm <sup>61</sup>	Sm <sup>62</sup>	Eu <sup>63</sup>	Cd <sup>64</sup>
	Lu <sup>71</sup>	Yb <sup>70</sup>	Tm <sup>69</sup>	Er <sup>68</sup>	Ho <sup>67</sup>	Dy <sup>66</sup>	Tb <sup>65</sup>	
Электроны	128	128	128	128	128	128	128	64
Фотоны ×10 <sup>3</sup>	16	16	16	16	16	16	16	8
Фононы ×10 <sup>5</sup>	128	128	128	128	128	128	128	64.

\*

\*\*

Рупа - Арупа Вселенной пульсирует в резонансно-антирезонансном режиме.

**При антирезонансе Арупа - Рупа ( $T_0 + \tau = 7$ ) возникает Семь Пар Лантаноидов (табл.5.14).**

**При резонансе Арупа - Рупа формируется Двенадцать Пар Актиноидов (табл.5.13, табл.5.15).**

То, что наша наука открыла 114 химических элемента говорит о том, что за элементы 112, 113 и 114 принимаются энергетические поля не являющимися химическими элементами Периодической Системы Д.И.Менделеева.

Анализируя солнечно-лунную комбинацию лантаноидов (табл.5.1), я обозначу сомнительные элементы символом  $X^n$ , где n - порядковый номер элементов (табл.5.13).

Таблица 5.13

**Актиноиды: радиационное излучение (табл.5.1)**

Число пар	I	II	III	IV	V	VI	VII	VIII	IX	X	XI	XII	Нет пары
Элементы	Ra <sup>88</sup>	Ac <sup>89</sup>	Th <sup>90</sup>	Pa <sup>91</sup>	U <sup>92</sup>	Np <sup>93</sup>	Pu <sup>94</sup>	Am <sup>95</sup>	Cm <sup>96</sup>	Bk <sup>97</sup>	Cf <sup>98</sup>	Es <sup>99</sup>	Fm <sup>100</sup>
	X <sup>112</sup>	X <sup>111</sup>	X <sup>110</sup>	X <sup>109</sup>	X <sup>108</sup>	X <sup>107</sup>	X <sup>106</sup>	Ns <sup>105</sup>	Ku <sup>104</sup>	Lr <sup>103</sup>	No <sup>102</sup>	Md <sup>101</sup>	
Электроны	200	200	200	200	200	200	200	200	200	200	200	200	100
Фотоны $\times 10^3$	25	25	25	25	25	25	25	25	25	25	25	25	12,5
Фононы $\times 10^5$	2	2	2	2	2	2	2	2	2	2	2	2	1.

Последним элементом, завершающим Периодическую систему Менделеева, является инертный радиоактивный газ  $X^{112}$  (табл.5.13).

Непарным элементом в группе актиноидов является фермий, имеющий 100 электронов, 12500 фотонов и 100000 фононов (табл.5.13).

Группа актиноидов формирует двенадцать пар с 200 электронами, 25000фотонами и 20000 фононами в каждой паре (табл.5.13).

$$\Delta\rho - \Delta\tau = (14^2 - 2 - 13^2 - 25) \cdot 10^3 = (27 - 27) \cdot 10^3, \quad (5.93)$$

их частное от деления и произведение:

$$\begin{aligned} \Delta\rho \cdot \Delta\tau &= (14^2 - 2) \cdot (13^2 + 25) \cdot 10^6 \equiv \\ &= (14^2 \cdot 13^2 + 25 \cdot 14^2 - 2 \cdot 13^2 - 2 \cdot 25) \cdot 10^6 \equiv \\ &= (42978 \cdot 10^6 - 50 \cdot 10^6) \text{ фононов,} \end{aligned} \quad (5.94)$$

где 50 - эквивалент частоте пульсации небес-Цинь, или Бог Айн СОФ Всесущий (Тора, [3]).

\*\*

Находясь в Арупе 13 Лун в течение 364 дней одного года, квант лунно-солнечного света своей пульсацией возбуждает окружающую среду до потенциала:

$$\rho_5^6 \cdot (13 \cdot \tau^2 \cdot 364 = 13 \cdot 9 \cdot 364) = 42588 \cdot 10^6. \quad (5.95)$$

В поле высоких частот, где наблюдается эффект Кирлиана, возникает разность потенциалов (5.94):

$$\Delta K = (42978 - 42588) \cdot 10^6 = 39 \cdot 10^7 = \tau \cdot 13 \cdot 10^7. \quad (5.96)$$

Разность фононов в поле высоких частот солнечно-лунных квантов **извечна, как извечен День вне Времени** тринадцати - лунного Календаря Майи.

## 5.6 Актиноидно-лантаноидная пульсация

В Периодической системе 112 элементов. Их количество диктуется гравитационно-магнито-электрическим равновесием:

$$112 = 7\sqrt{qq^*} = 8\sqrt{\mu\mu^*} = 4\sqrt{\rho\rho^*}. \quad (5.97)$$

**Энергетическая структура солнечно-лунного кванта**

Форма Чисел	Зародыш: гравитация	Магнитная оболочка (5.72)	Внутреннее поле (рис.5.3)	Электрическая оболочка (5.76)
Относи- тельные единицы	$\rho\rho^*$ = 28	$E_{ин} = 196$ = $14^2$	$E=64+64+8+2$ = 138 = $3 \cdot 16$	$\Delta E_{cp} = 256$ = $16^2$
Число фотонов (делить на 0,008)	98000	24500	17250	32000
Число фононов ( $8 \cdot m_c^*$ )	84000	196000	138000	250000
Разности	$784000 - (196+138+250) \cdot 10^3 = 194 \cdot 10^3 = (14^2 - 2) \cdot 10^3$ .			

В лунно-солнечном кванте (табл.5.12) возникает **разность Числа Фононов** между Зародышем и остальным полем, равная (табл.5.12):

$$\Delta\rho = 194 \cdot 10^3 = (196 - 2) \cdot 10^3 = (14^2 - 2) \cdot 10^3, \quad (5.91)$$

где:  $14^2 = \mu\mu^*$  - магнитное поле кванта;

$2 \equiv \lg \rho_1 \rho_2 \rho_3 \rho_4 \rho_5$  - взаимодействия;

$10^3 \equiv \rho_5^2 / \rho_1$ .

Вместе с тем потенциал (5.91) связан с тринадцатью Лунами Продолжительностей:

$$\Delta\tau \equiv 194 \cdot 10^3 = (196+25) \cdot 10^3 = (13^2+25) \cdot 10^3. \quad (5.92)$$

Потенциалы (5.91 и 5.92) наша наука воспринимает как дефект масс и дефект времени. На самом деле дефектов никаких нет, а есть разности потенциалов:

**Иисус Христос с Неба диктует Откровения с Кругом Универсумом (рис.5.2. Пропорции кратные 2, 3, 4) Иоанну Богослову.**

Колумб открывает Америку. Христианская Конкиста уничтожает Цивилизацию Майи с её Календарём. Интеллектуальная Сущность Христа вновь распинается во Имя Христа. Римский Папа Иоанн Павел II приносит извинения. Все при деле.

\*\*

**Круг Универсума [5] описывает динамику изменения Дня вне Времени цивилизации Майи [16]. Аборигены Австралии знают, с какой целью приходил Иисус на Землю [18]. Всё не так просто, как представляют нам Космос Догмы церковей любых Конфессий.**

**Наша Задача, наша Цель Жизни состоит в том, чтобы разобраться в Законах Единого Космоса и, не создавая себе Кумиров, следовать по пути великой Цивилизации к Вершинам Научно-Технического Прогресса Социума Носителей Разума.**

*Ключ к Пониманию Космоса лежит в понимании микро-макро энергетических солнечно-лунных квантов.*

\*\*

*Солнечно-лунные микро-макро кванты формируются за счёт гравитации, имеют магнитную оболочку гравитационного зародыша и электрическую оболочку всего кванта.*

Между магнитной и электрической оболочкой возникает разность потенциалов (табл.5.12).

В основе поля, которое описывает диаграмма Ян-Цинь, лежит **солнечный гелий** (табл.5.1), **фотоны-сгустки которого формируют Периодические Системы**, в том числе Химических Элементов и Человека.

Формирование Периодических Систем протекает в соответствии с 13-и Лунным Календарём.

**День вне Времени в Календаре Майи** определяется разностью потенциалов, равной (табл.5.11):

<b>День вне времени 13-ти Лунного Календаря</b>	
Анти-резонанс	$\begin{aligned} ДВВ \equiv (64000+8000) - (64000+2000) \equiv \\ 6000 \text{ фононов} \equiv 750 \text{ фотонов} \equiv 6 \text{ относительных} \\ \text{единиц} \equiv (2,5+3,5) = 3,5^2 - 2,5^2 \equiv \text{Кундалини} \end{aligned}$
Резонанс	$ДВВ \equiv \frac{8000 \text{ фононов расширения}}{2000 \text{ фононов сжатия}} = 4 \equiv T_0.$

(5.88)

День вне Времени пульсирует в антирезонансно-резонансном режиме (5.88).

При антирезонансе формируется потенциал-эквивалент Кундалини; при резонансе возникает Рупа точечного участка волны света (5.82).

Рупа пульсирует, формируя Арупу:

$$(T_0 = 4, \pm 1) \quad 5 \leftarrow T_0 = 4 \rightarrow 3 = \tau. \quad (5.89)$$

Арупа тоже пульсирует, формируя Рупу и взаимодействия:

$$(\tau = 3, \pm 1) \quad T_0 = 4 \leftarrow \tau = 3 \rightarrow 2 = \lg \rho_1 \rho_2 \rho_3 \rho_4 \rho_5. \quad (5.90)$$

Эпицентр Направления Единого Космоса									
Группы	I	II	III	IV	V	VI	VII	VIII	IX
Разности их сумм	-6	+4	-2	+0	+2	+4	+6	+8	=8.

(5.83)

Диаграмма Ян-Цинь (рис.5.3) описывает динамику движения эпицентра Неравновесия в окружающей среде (5.83):

$$8 \equiv T_0 \cdot c / \omega_0 \text{ (5.83) - импульс расширения; } \quad (5.84)$$

$$\sqrt[3]{8} = 2 \equiv T_0 \cdot \omega_0 / c = 2 \text{ - импульс сжатия; } \quad (5.85)$$

$$64 \equiv 2 \int_0^8 \varphi d\varphi \equiv (T_0 \cdot \omega_0 / c = 2)^6 \equiv (T_0 \cdot c / \omega_0 = 8)^2,$$

энергия сжатия-расширения сгустка Тянь; (5.86)

$$32 \equiv 2 \int_0^8 \varphi d\varphi \equiv [(16 \equiv \sqrt{qq^*}) - (-16 \equiv -\sqrt{qq^*})],$$

энергия пульсирующих небес - Цинь. (5.87)

Все эти фундаментальные потенциалы Неравновесия, описанные в Книге Перемен и диаграммой Ян-Цинь (рис.5.3) можно представить в форме Чисел фотон-фононов (табл.5.11).

Таблица 5.11

**Фотон-фононы и диаграмма Ян-Цинь**

Формы полей	Левизна		Правизна	
	Импульс сжатия	Энергия расширения	Энергия сжатия	Импульс расширения
Относительные единицы	$T_0 \omega_0 / c = 2$	$(T_0 c / \omega_0)^2 = 64$	$(T_0 \omega_0 / c)^6 = 64$	$T_0 \cdot c / \omega_0 = 8$
Число фотонов (делить на $m_c^*$ )	250 $A_{He} \equiv 250$	8000	-8000	-1000
Число фононов ( $8 \cdot m_c^*$ )	2000	64000	-64000	-8000.

В процессе пульсации фотон - фононов (или их эквивалентных Эмоциональных импульсов Тонкой Энергии) между мозгом и сердцем через шею возникает поле Рупы с потенциалом 400 (табл.5.10).

Потенциал 400 кратен  $T_0 = 4$ , сокровенной Сороковице ( $\equiv 40$ ), Свабхават  $O$  ( $\equiv 400$ ), четыремстам Библейским годам.

Сгусток - Рупа с потенциалом 400 излучает свет с потенциалом 36.

В точке излучения возникает разность потенциалов, равная  $400 - 36 = 364$  и эквивалентная 364-м сгусткам 13-лунного Календаря цивилизации Майи.

Отсчёт продолжительностей, вереницу которых мы называем Временем, протекает по Календарю Майи в Гармонии с Человеком, во Благо Человека.

Отсчёт Времени по Другим Календарям протекает с демобилизацией Резерва Психики Человека, во зло Человеку.

Любой Календарь, кроме 13-ти Лунного, от лукавых академиков Парадигмы - Догмы, как в области Религии, так и в Науке.

\*\*

**Неравновесная** цис-транс изомерия Единого Космоса возникает в солнечно-лунном ряде микро-макро миров Вселенной.

**Эпицентром Направления** является VIII группа с солнечным потенциалом 8 и лунным, равным нулю. Это День вне Времени в Календаре Майи, который обладает разностью потенциалов  $8 - 0 = 8$  (табл.5.8).

$$\text{Дзиан} \equiv \int_0^1 \varphi d\varphi \equiv \frac{1}{2} \Leftrightarrow -\frac{1}{2} = \int_1^0 \varphi d\varphi \equiv -\text{Дзиан} . \quad (5.81)$$

делит Божества пополам, синтезирует и расщепляет кванты, создаёт Семеричность в Десятеричности магнито-гравитационных полей:

$$110 \cdot (\pm 1/2) = \pm 55;$$

$$7 \Leftrightarrow \frac{1^2 + 2^2 + 3^2 + 4^2 + 5^2 + 6^2 + 7^2 + 8^2 + 9^2 + 10^2}{1+2+3+4+5+6+7+8+9+10} = \frac{385}{55} . \quad (5.82)$$

110 Божеств в нас расщепляются пополам, а затем распределяются в теле Человека: 58 - в голове, 10 - в области шеи, 42 - в области сердца. Искры Фохата, то есть сгустки  $m_c^* = 0,008$  и  $m_c^{**} = 0,002$ , связывают наши Божества между собой (табл.5.10).

Таблица 5.10

**110 Божеств и фотон-фононы нашего тела**

Число компонент	Части тела					
	Левизна			Правизна		
	голова	шея	сердце	голова	шея	сердце
Божеств	29	5	21	-29	-5	-21
Фотонов (делить на $m_c^*$ )	3625	625	2625	-3625	-625	-2625
Фононов ( $8 \cdot m_c^*$ )	29000	5000	21000	-29000	-5000	-21000
Появление Рупы с $T_0=4$	$\int_5^{29} \varphi d\varphi - \int_5^{21} \varphi d\varphi = 400$			$\int_{29}^5 \varphi d\varphi - \int_{21}^5 \varphi d\varphi = -400$		
13-и Лунный Календарь Майи	$1 \text{ год} = 364 \text{ дня} \equiv 13 \cdot 28 \equiv 400 - 36 \equiv 364$			$1 \text{ год} = 364 \text{ дня} \equiv 13 \cdot 28 \equiv 400 - 36 \equiv 364.$		

## 5.5 Тонкоэнергетический Свет

Возникает резонансное Свечение Тонкой Энергии, которое мы получаем от генератора Тонкой Энергии, на которое действуют эндотермия гравитационных и слабых взаимодействий (рис.5.4).

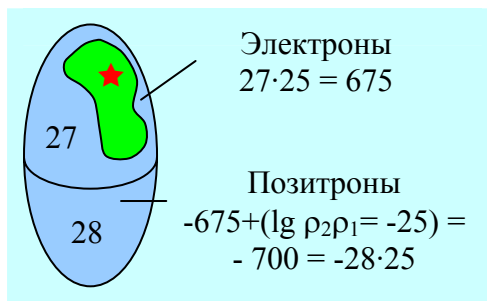


Рис.5.4 Свечение от генератора Тонкой Энергии

За счёт эндотермических взаимодействий поверхность из позитронов изменяет свой потенциал до 700 (рис.5.4).

Возникают семеричные антирезонансные Продолжительности или Семь Вечностей [1].

\*\*

Пульсация Свечения Тонкой Энергии формирует потенциал-эквивалент 110 Божествам в Человеке (Книга Мёртвых, Лаосская философия):

Рождение 110 Божеств в Человеке	
Левизна: цис-изомерия	Правизна: транс-изомерия
$\pm 110 = \pm \int_{27}^{28} \varphi d\varphi \cdot T_0$	$\mp T_0 \left( \int_{25}^{28} \varphi d\varphi - \int_{28}^{25} \varphi d\varphi \right) = \pm 110.$

(5.80)

Эти (5.80) обожествлённые потенциалы Тонких Энергий (рис.5.4) есть в любой сгустке Материи.

\*\*

Пульсация Космоса с потенциалом Дзиан, эквивалентным  $\pm 1/2$ :

Возникает неравновесная система: разность потенциалов в V, VI, VII и VIII группах равна 120 и эквивалентна внутреннему полю света; разность потенциалов в I, II и III группах равна 56 и связывает заряды-импульсы с Кундалини:

$$56 \equiv \frac{7}{2} \sqrt{qq^*} = 4 \sqrt{\mu\mu^*} = 2 \sqrt{\rho\rho^*}. \quad (5.77)$$

В Периодических Системах возникают Перемены (Книга Перемен), связанные с появлением разности эквиваленту - Тянь:

$$T_1 = 120 - 56 = 64. \quad (5.78)$$

Причиной возникшего неравновесия является восьмая группа с потенциалом 64 (табл.5.9).

\*

\*\*

Неравновесие (5.78) сказывается и на Человеке и на VIII группе химических элементов, где концентрируются такие элементы, как (табл.5.1).

Сумма элементов VIII группы							
Периоды	4		5		6		
Элементы	Mn <sup>25</sup>	Fe <sup>26</sup>	Tc <sup>43</sup>	Ru <sup>44</sup>	Rc <sup>75</sup>	Os <sup>76</sup>	At <sup>85</sup>
	Co <sup>27</sup>	Ni <sup>28</sup>	Rh <sup>45</sup>	Pd <sup>46</sup>	Jr <sup>77</sup>	Pt <sup>78</sup>	
Суммы электронов	25+26+27+28 106		43+44+45+46 178		75+76+77+78+85 391		
	106+178+391 = 675 = 27·25 ≡ τ <sup>3</sup> (25) Резонанс поля Пентаграмма в Яйце [1]						
Сумма позитронов	-675 = -27·25 ≡ τ <sup>3</sup> (-25) Резонанс поля Пентаграмма в Яйце [1].						

Колебания среды во внутреннем поле Ян-Цинь		
Пределы: разности	Удвоение за счёт изомерии	Интегральная разность потенциалов в среде
-12; +20 (табл.5.8)	2. Взаимодействие волны +1-(-1)=2	$\Delta E_{cp} = 2 \int_{-12}^{+20} \varphi d\varphi = 256 = 16^2 = qq^*$ электричество.

(5.76)

Конечным результатом колебаний внутреннего поля кванта Ян-Цинь (рис.5) является резонанс электрического заряда  $q$  (биоток) и электрического импульса  $q^*$  (воображение) (5.76).

Между биоклеткой и нейроном происходит обмен электрической энергии (5.76).

\*\*

Обмен электрической энергией между биоклеткой и нейроном происходит не сразу, а по стадиям-уровням (табл.5.8, табл.5.9).

Таблица 5.1

**Стадии обмена энергией между клеткой и нейроном**

Разности	Группы							
	I	II	III	IV	V	VI	VII	VIII
Пределы	-6	-4	-2	0	+2	+4	+6	+8
Разности квадратов	$2 \int_0^{-6} \varphi d\varphi$ 36	$2 \int_0^{-4} \varphi d\varphi$ 16	$2 \int_0^{-2} \varphi d\varphi$ 4	Полупроводники	$2 \int_0^2 \varphi d\varphi$ 4	$2 \int_0^4 \varphi d\varphi$ 16	$2 \int_0^6 \varphi d\varphi$ 36	$2 \int_0^8 \varphi d\varphi$ 64
Суммы разностей	56				120			

При обмене электрической энергии заряда и импульса в живом (табл.5.9) четвёртая группа остаётся подобием полупроводников в Периодической Системе Элементов (табл.5.1).

Преобразователь можно создать на основе кислород-азотной смеси, то есть на Подобии серого вещества головного мозга и нейрона.

\*

\*\*

Колебания двойной оболочки источника информационно-энергетических волн (5.72) - Это Россыпь Обоже-ствлённых Чисел:

50 - верхний предел интеграла: ворота, Бог Айн СОФ (Тора); пульсация небес - Цинь;

48 - нижний предел интеграла: волна длиной в  $4800\text{Å}$  ( $\rho_2^2 = 0,01$ ), делящая сине-голубую область спектра солнечного белого света. Обоже-ствлена как Святой Дух в поле цис-транс изомерии:

$$\pm 48 \equiv \pm [24 - (-24)], \quad (5.74)$$

где потенциал Святого Духа с периодичностью в одну пальму трансформируется в 42 Божества твоего сердца:

$$24 \cdot \left( \frac{T_0 + \tau}{T_0} = \frac{7}{4} \right) = 42. \quad (5.75)$$

\*

\*\*

В поле солнечно-лунного кванта Ян-Цинь (рис.5.3) периодически возникают разности потенциалов (табл.5.8).

Предельными значениями этих разностей являются потенциалы минус 12 и плюс 20 (табл.5.8), которые определяют колебания среды во внутреннем поле Ян-Цинь:

Например, в биоклетке потенциал двойной оболочки реализует себя в двойной мембранной молекулярной спирали.

\*  
\*\*

**Двойная оболочка** поля Ян-Цинь (рис.5.3) пульсирует в пределах  $2 \cdot (49 \pm 1)$ , и возмущает окружающую среду.

Пульсирующая по частоте и амплитуде оболочка является основой приёмо-передающих систем информации:

<b>Структура информации</b>	
$\varphi d\varphi$ - энергетический информационный поток и информация, передаваемая двойной оболочкой	(5.72)
$E_{ин} = 2 \int_{49-1}^{49+1} \varphi d\varphi = 2 \int_{48}^{50} \varphi d\varphi = 196 = 14^2 \equiv \mu\mu^*.$	

Информационный поток микро-макро сгустков Ян-Цинь синтезируется двойной оболочкой поверхности сгустка во время её пульсации, имеет магнитную ( $\mu\mu^*$ ) основу и возмущает окружающую среду (5.72).

Системы Связи на магнитных импульсах  $\mu^*=14 \cdot 10^{20}$ , будут распространять свои волны в  $10^{40}$  раз быстрее света.

Поскольку измерять сверхсветовые волны наша цивилизация не умеет, то приёмное устройство связной аппаратуры должно быть трансформатором магнитной энергии в электрическую:

<b>Условие преобразования магнетизм <math>\Leftrightarrow</math> электричество</b>	
$\frac{q}{\mu} \Leftrightarrow \frac{\mu^*}{q^*} \rightarrow qq^* \Leftrightarrow \mu\mu^* \rightarrow 16^2 \Leftrightarrow 14^2 \equiv (A_o)^2 \Leftrightarrow (A_N)^2.$	(5.73)

....

Пульсирующее солнечно-лунное поле (табл.5.8) великая Цивилизация описывала диаграммой Глаз Дагма (рис.5.3).

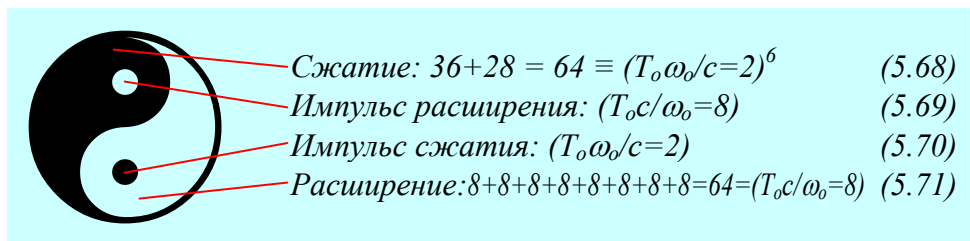


Рис.5.3 Пульсирующее солнечно-лунное поле (табл.5.8)

Авторы Космогенезиса описывали эту систему (5.3) в Станцах I и II [1]. Приведу выдержку: **"...Жизнь бессознательная пульсировала в Пространстве Вселенском во Всесущности той, что ощущается открытым Глазом Дагма"**.

Эту часть своего Учения великая Цивилизация поручила Лаосу. Лаосеяне дали диаграмме Глаз Дагма наименование Ян-Цинь (рис.5.3).

\*\*

Диаграмма Глаз Дагма определяет две **формы волновых полей: сжатия (5.68) и расширения (5.71), а также два импульса: расширения (5.69) и сжатия (5.70)**, которые связаны между собой Единым полем (рис.5.3). Эти формы Энергии и Импульсов составляют Сущность внутреннего поля солнечно-лунных взаимодействий (табл.5.8).

\*\*

Каждый микро-макро квант с солнечно-лунными взаимодействиями имеет двойную оболочку с потенциалом  $2\cdot 49$  (5.67).

Реализация двойной энергетической оболочки происходит Везде, Всегда и во всех полях Рупы.

При такой пульсации биоклетка и нейрон будут воспринимать энергетические колебания с опорной частотой  $T_0 = 4$ , на уровне Сознания с частотой 24, а на уровне подсознания 25 кадров в секунду.

**У Человека возникнет разность потенциалов приёма информации:**

$$\Delta \text{Инф} = 4 \cdot \int_{24}^{25} \varphi d\varphi = 2 \cdot 49 \equiv \text{Две оболочки [4]}. \quad (5.67)$$

Возникнут две оболочки Системы Приёма-Передачи Информации, то есть левое и правое полушария головного мозга, а также цис-транс изомерическая командно-рефлекторная система координации.

\*\*

Человек живёт в солнечно-лунных полях и эти поля формируют его тело - Тянь и полушария головного мозга, или Цинь с левизной цис-изомерии и правизной транс-изомерии (табл.5.8).

Таблица 5.8

**Формирование тела - Тянь  
и полушарий Мозга - Цинь Человека**

Ряды	Уровни								
	I	II	III	IV	V	VI	VII	VIII	IX
Солнечный	1	2	3	4	5	6	7	8	= 36
Лунный	7	6	5	4	3	2	1	0	+ 28
Суммы	8 + 8 + 8 + 8 + 8 + 8 + 8 + 8								= 64
	Появление Тянь								
Разности и их суммы	-6	-4	-2	0	+2	+4	+6	+8	
	-12 = $T_0 \cdot \tau$			0	20 = $T_0 \sqrt{T_0^2 + \tau^2}$				
Цинь полушарий мозга	$\pm 32 = \pm [20 - (-12)] = \pm A_{O_2}$								

$$T_0 \cdot \tau^2 - \text{Цинь} \equiv 144 - 32 = 112, \quad (5.63)$$

в которой существуют 6328 электронов и столько же позитронов.

Изомерическое электрон-позитронное облако над сгустком будет равно (5.14):

$$\pm[6328 - (-6328)] = \pm 12656 = \pm 112 \cdot 113. \quad (5.64)$$

Библия утверждает: **число 113 - это Число Человека**. Следовательно, после того, как возникла Периодическая Система 112 химических Элементов, на её основе возник человек.

\*\*

Поле (5.64), как любое электрическое поле, например (5.63), пульсирует в резонансно-антирезонансном режиме, создавая между собой неравновесные колебательные системы:

Химические элементы в человеке		
Поля	Периодическая система (5.63)	Человек (5.64)
Ко- ле- ба- ния	Отно- сительные единицы	$\frac{144^2 - 32^2}{144 \cdot 32} = 4,2(7) \rightleftharpoons 1,0089 \dots = \frac{112 \cdot 113}{113^2 - 112^2}$ (5.65)
	Фотоны	535 $\rightleftharpoons$ 125. Водород
	Фононы	4280 $\rightleftharpoons$ 1008 $\equiv$ Постоянная Вселенной.

Постоянная перехода в этом поле (5.65):

$$K = \frac{4,2(7)}{1,0089} = \frac{535}{125} = \frac{4280}{1008} \approx 4,246. \quad (5.66)$$

\*

\*\*

Изменение атмосферы над сгустком не прекращает химические процессы между углеродом (золой) и водородом: возникнут молекулярные цепи и кольца предельных и непредельных углеводородов - основы биологической Жизни на Земле.

Эволюция атмосферы над сгустком и Эволюция молекулярных цепей углеводородов идут рука об руку и зависят от температуры сгустка (5.6.2).

Когда парогазовая смесь над сгустком охлаждается до температуры конденсации пара в воду, то молекулярные цепи углеводородов в воде зародят биологическую Жизнь: сначала в полях вне фотосинтеза солнечного света на глубинах более 100 метров, потом в области фотосинтеза солнечного света на глубинах менее 100 метров.

\*

\*\*

Сгусток остывает. Жизнь развивается. Живое из воды выползает на сушу и летает в атмосфере.

Плотность упаковки живого мала: Животный и Растительный мир имеет индивидуумы больших размеров; спирали углеводородных молекул - носителей Био-Жизни, - закручены слабо.

Сгусток остывает, плотность упаковки сгустков растёт. Большие животные вымирают как динозавры. Молекулярные углеводородные цепи ДНК и РНК скручиваются туже. Носитель Разума эволюционирует. На смену Ману-Мыслителя приходит Человек Воли и йоги. Земля остыла. Пора улетать. Сможем ли? Или запутаемся в пустой болтовне?

\*

\*\*

Вернёмся к Периодической Системе из 112 элементов. Она возникает как разность между

**Формирование сгустков Вселенной**

Ряды	Солнечный	Лунный
<i>Восходящий</i> <i>нисходящий</i>	$1+2+3+4+5+6+7+8=36$ $8+7+6+5+4+3+2+1=36$	$1+2+3+4+5+6+7+8=36$ $8+7+6+5+4+3+2+1=36$
Суммы и их разность	$9+9+9+9+9+9+9+9=72$ $72-56=16$	$8+8+8+8+8+8+8=56$ $T_0^2 \equiv A_0 \equiv \sqrt{qq}^*$
Разности по уровням	-7, -5, -3, -1, +1, +3, +5, +7 Солнечно - нечётные	-6, -4, -2, 0, +2, +4, +6 Лунно - чётные
Потенциалы изомерии	$\pm 32 \equiv \pm[(1+3+5+7) - (-1-3-5-7)] \equiv A_{O_2} \equiv$ Цинь $\equiv \pm$ Тянь $\int_0^1 \varphi d\varphi$	$\pm 24 \equiv \pm[(2+4+6) - (-2-4-6)] \equiv$ Святой Дух $\equiv$ Сияние Ли $\equiv$ Рог с Бриллиантовым Наконечником [2].

<b>Формирование водорода солнечно-лунными полями</b>
--

$(\pm 24)^2 \cdot ((T_0 + \tau)/T_0 = 7/4) \equiv \pm 32 \cdot (30 + 1,5) \equiv 1008 \equiv 1008 A_H \equiv$ $5 \cdot 10^5$ фононов $\equiv 5^4 \cdot 10^2$ фотонов.
--

(5.61)

\*\*

Зола, кислород, азот, водород, гелий начинают формировать атмосферу над сгустком.

В зависимости от температуры сгустка, связанной с давлением ( $p$ ), объёмом ( $V$ ) и газовой постоянной  $R = 2$  ккал/моль, атмосфера над сгустком будет меняться от паро-газовой фазы до жидкой, в соответствии с уравнением Д.И.Менделеева:

$$\Delta t^0 = P \cdot V / R = \text{Const.} \quad (5.62)$$

$$120^2 \equiv (13^2 - 5^2 = 12^2) \cdot (\rho_5 = 10). \quad (5.59)$$

\*\*

Внутреннее поле света **"выгорает"** до золы, пульсируя в резонансно-антирезонансном режиме. При этом возникает поверхность кванта света, равная шести и равная Кундалини.

Теогенезис говорит о том, что **"Когда Колесо делает полтора оборота, Искры воплотятся в плодах доголе человеку неизвестных"** ([2]. Теогенезис. Станца III. п.3):

<b>Зола: выгорание внутреннего поля света</b>			
	Резонанс	Антирезонанс	Кундалини
Выгорание до Кундалини	$1 \cdot 2 \cdot 3 \cdot 4 \cdot 5 = 120$	$1+2+3+4+5 = 15$	$K = 120:15 = 6 = (3,5+2,5)=\dots$
Полтора оборота Колеса	$120(\rho_2=0,1) \equiv A_C = 12$	$15(\rho_2=0,1) \equiv 1,5$	$K = 12:1,5 = 6 = 3,5^2 - 2,5^2 = \dots$

(5.60)

При "сгорании" внутреннего поля света (5.60) излучаются Искры: излучается белый свет (5.56), возникают молекулы азота  $A_{N_2} = 28$ , появляются солнечно-лунные ряды, формируются небеса - Цинь и сгустки Тянь (табл.5.7).

В этом поле (табл.5.7) и Святой Дух, и небеса - Цинь формируют постоянную Вселенной (5.61)

\*

\*\*

Три-Язычное Пламя действительно Пламя, ибо при резонансе возникает излучение солнечного белого света с разностью длин волн  $\Delta B = 3600 \text{ \AA}$ :

$$(T_0 \cdot \tau)^2 \cdot (T_0^2 + \tau^2) = 144 \cdot 25 = 3600 \equiv \Delta B. \quad (5.56)$$

Переход поля (5.56) к антирезонансу и поглощение при этом одного импульса ( $m_{cs} = E_{\lambda c} = 1$ ) света из окружающей среды, приводит к формированию внутреннего поля света, имеющего пять энергетических уровней:

$$(T_0 \cdot \tau)^2 - (T_0^2 + \tau^2) + m_{cs} = 144 - 36 + 1 = 120 = 1 \cdot 2 \cdot 3 \cdot 4 \cdot 5. \quad (5.57)$$

Отношение резонансных (5.56) и антирезонансных (5.57) полей приводит к ряду в сине-голубом спектре:

$$\Delta B : 120 = 3600 : 120 = 30 = 1^2 + 2^2 + 3^2 + 4^2, \quad (5.58)$$

о которых Авторы Книги Дзиан говорили **как о формировщиках, а Христос диктует Святому Иоанну пропорции Круга Универсума в Откровениях [5]**.

\*

\*\*

**Зола** с атомным весом углерода ( $A_C = 12$ ) описана Русскими Рунами как Начало формирования Твёрдых Фаз в структуре Единого Космоса [4].

Равенство величин атомного веса углерода и потенциала резонанса  $T_0 \cdot \tau$  в вихре Рупа - Арупа:

$$T_0 \cdot \tau = A_C = 12 \equiv \rho_5 \cdot 120, \quad (5.58)$$

позволяет говорить о том, что твёрдая фаза в Едином Космосе начинает формироваться тогда, когда возникает внутреннее поле света (5.57):

## Деление Космоса на Арупу и Рупу

Поле	Арупа	Арупа - Рупа	Рупа
Интервал Продолжи- тельности	$\tau = 3 \rightarrow 9 = \tau^2$	$T_0\tau \equiv 12 \rightarrow 7 = T_0 + \tau$	$T_0 = 4 \rightarrow 16 = T_0^2$
Возмущение сред	$\pm \int_3^9 \varphi d\varphi = \pm 36$	$\pm \int_7^{12} \varphi d\varphi = \pm 24$	$\pm \int_4^{16} \varphi d\varphi = \pm 120$
Приведённая пульсация	$\frac{36 \cdot 24 \cdot 120}{(36 + 24 + 120) - (-36 - 24 - 120)} = \frac{36 \cdot 24 \cdot 120}{360} = 2 \cdot 12^2$		

Полученный результат (табл.5.5) говорит о том, что **Корень Всего**, то есть метагалактические волны с потенциалом  $\sqrt{2}^2 \equiv Sc^2 \pi/4 \equiv Csc^2 \pi/4$  стали создавать вихри с **Продолжительностями** ( $T_0 \cdot \tau = 12$ ).

Изменение Продолжительностей до  $13^2$ :

$$[T_0\tau + (T_0 - \tau)]^2 \equiv (12 + 1)^2 \equiv 13^2 \quad (5.54)$$

ведёт к "запуску" биочасов микротрубочек пор ядер биоклеток по 13-ти лунному Календарю Цивилизации Майи.

В поле Арупы - Рупы Продолжительности существования метагалактических волн расщепляются:

$$13^2 - (T_0 \cdot \tau)^2 = 5^2 = (T_0^2 + \tau^2 \equiv 4^2 + 3^2), \quad (5.55)$$

и поля  $(T_0 \cdot \tau = 4 \cdot 3)^2 \Leftrightarrow 5^2 = (T_0^2 + \tau^2 \equiv 5^2)$  Авторы Книги Дзиан называют Три-Язычным Пламенем Четырёх Фитилей [1].

## 5.4 Число Человека: Периодическая Система и Человек. Восьмая группа

**Создатель связал в Единое Целое** не только 22 зуба Авраама (Тора), но и **Весь Космос**, выделив в нём Арупу, Арупу-Рупу и Рупу.

Субстанциями (веществами) в этих переходах являются те вещества, у которых потенциал разностей в начале и конце процесса перехода из одной формы энергии в другую соответствовал продолжительности процесса.

Пример.

$$1 \equiv \rho_2^2 \frac{\Delta\Gamma \equiv 300 \overset{\circ}{A}}{\tau = 3} \equiv \rho_2^2 \frac{\Delta K - \Delta\Phi \equiv 900 \overset{\circ}{A}}{\tau^3 = 9} \equiv \rho_2^2 \frac{\Delta Z \equiv 400 \overset{\circ}{A}}{T_0 = 4} \equiv \dots \quad (5.52)$$

Это (5.52) значит **скорость перехода из одной формы энергии в другую, равная разности потенциалов перехода делённая на продолжительность перехода должна оставаться постоянной и равной единице:**

$$V = \frac{\Delta E = E_k - E_n}{\text{Продолжительность}} = 1 = \text{Const} . \quad (5.53)$$

Назовём этот фундаментальный закон (5.53) **законом соответствия Энергии и Продолжительности.**

**Создатель**, используя закон соответствия Энергии и продолжительности, **разделил Космос на Арупу и Рупу** (табл.5.5).

<b>Колебания азота в полях свет - газы (рис.5.1)</b>		
Гелий - Кислород	Азот	Свет - водород
Объём Пирамиды		Объём Пирамиды
$V = \frac{1}{3} A_O A_{He} = \frac{1}{3} 8 \cdot 2^4$	$\begin{array}{c} A_{N_2} = 28 \\ \longleftrightarrow \\ 14 = A_N \end{array}$	$\frac{1}{3} 2^4 \equiv \frac{1}{3} A_H A_{He} = V'$ (5.49) $2 = (2^{7/4-3/4})$
Коле- бания	$8 + 14 \Leftrightarrow 30 \equiv 28 + 2$ $30 \cdot 22 - (30^2 - 22^2) = 660 - 416 = 244.$	

**Выводы:**

1. Колебания азота в средах свет - газы формируют магнитный атомарный и гравитационно-молекулярный азот (5.49):

<b>Гравитационно-магнитная пульсация азота</b>	
Молекула. Гравитация	Атом. Магнетизм
$A_{N_2} = 28 \equiv \sqrt{\rho\rho^*}$	$\Leftrightarrow \sqrt{\mu\mu^*} \equiv 14 = A_N.$ (5.50)

Гравитационно-магнитная связь в поле азота проявляет себя, например в том, что быстрый подъём водолаза (живой магнит) приводит к кессонной болезни (азотное отравление).

2. Атомарно-молекулярное колебание азота приводит к колебаниям  $22 \Leftrightarrow 30$  (5.49), где 22 - число зубов Авраама, а 30 - сине-голубая компонента чакры Третий Глаз.

**Эта сине-голубая область приёма информации в виде 22 импульсов является магистральной для передачи информации телепатией.**

3. Разность потенциалов, равная 660, соответствует расстоянию между двумя параллельными гранями восьмигранника, обнаруженного при поперечном сечении микротрубочки поры ядра клетки амфибии.

4. Атомарно-молекулярные переходы азота являются источником излучения Света - Кундалини с потенциалом  $6^2 \equiv (3,5 + 2,5)^2 \equiv \dots$

<b>Сгущение Небесных Тел: маятник великой Пирамиды</b>				
Переход	Водород - гелий	Водород - углерод	Водород - азот	Водород - кислород
Колебания	$\frac{1000}{125} \Leftrightarrow \frac{125}{4000}$	$\frac{1000}{125} \Leftrightarrow \frac{125}{12000}$	$\frac{1000}{125} \Leftrightarrow \frac{125}{114000}$	$\frac{1000}{125} \Leftrightarrow \frac{125}{16000}$
	$8 \Leftrightarrow \frac{1}{32}$	$8 \Leftrightarrow \frac{1}{96}$	$8 \Leftrightarrow \frac{1}{112}$	$8 \Leftrightarrow \frac{1}{128}$
Великая Пирамида (рис.2.4, табл.2.14)	$\sqrt{2}^{n=1+2+3+4+5+6+7=28} \Leftrightarrow \frac{1}{\sqrt{2}^{n-1}}$ $\sqrt{2} = Sc \pi/4 = Csc \pi/4$ $и \frac{1}{\sqrt{2}} = Sin \pi/4 = Cos \pi/4$			

(5.48)

Эти четыре поля (5.48) пяти элементов (табл.5.4) определяют всю периодичность формирования сгустков Вселенной.

Первой периодической системой сгустков Вселенной является **Периодическая Система 112 Химических Элементов** (табл.5.1).

Открытые 113 и 114 элемента как таковые **элементами не являются**, а являются сгустками новых периодических систем.

Периодические системы сгустков захватывают **Макромир** Вселенной и Звёздное Небо, окружающее нас, распределено по **Периодическим Системам**. Например, в нашей Вселенной Звёздная Система с семью планетами будет подобна элементу с семью электронами, то есть азоту с порядковым номером 7.

\*\*

Вернёмся к рис.5.1, в котором показано, что азот совершает переходы от атомарного к молекулярному в полях между пирамидами свет-водород и гелий-кислород:

\*

\*\*

Гелий, как и любой Атом, - это вихрь **фононов** ( $m_c^{**} = 0,002$ ) вокруг **фотонов** ( $m_c^* = 0,008$ ).

Гелий созидает как фотон - фононы света. Созидание фотон - фононами из энергии окружающей среды происходит периодически в условиях Продолжительностей Рупы - Арупы.

Возникают углерод и газы как результат трансформации энергии окружающей среды фотон - фононами:

$$\text{фотон} - \text{фонон} : m_{m_c^*}^{m_c^{**}} \equiv m_1^8. \quad (5.47)$$

В соответствии с пропорциональностью массы фотона и эквивалентностью энергии фонона мы должны делить величину-эквивалент порядкового номера элемента на  $m_c^* = 0,008$  (получим число фотонов) и умножить число фотонов на 8 для определения фононов (табл.5.4).

Таблица 5.4

**Число фотон - фононов в газах и углероде**

Элементы	Водород	Гелий	Углерод	Азот	Кислород
Атомные веса	$A_H = 1$	$A_{He} = 4$	$A_C = 12$	$A_N = 14$	$A_O = 16$
Число фотонов	125	500	1500	1750	2000
Число фононов	1000	4000	12000	14000	16000.

Великая Цивилизация не стала считать фотон-фононы поштучно для каждого процесса, а учла отношение фонон-фотонов в атоме водорода и отношение фотонов водорода к фононам кислорода (табл.5.4):

Между сгустками Тянь и небесами - Цинь возникает отношение потенциальной ( $E_{\text{п}}$ ) и кинетической ( $E_{\text{к}}$ ) энергии, которое реализуется в отношении, например, молекулярных и атомных весов неинертных газов (5.44):

$$\frac{\text{Тянь} = 64}{\text{Цинь} = 32} \equiv \frac{E_{\text{п}} = mc^2}{E_{\text{к}} = \frac{1}{2}mc^2} \equiv \frac{A_{\text{H}_2} = 2}{A_{\text{H}} = 1} \equiv \frac{A_{\text{N}_2} = 28}{A_{\text{N}} = 14} \equiv \frac{A_{\text{O}_2} = 32}{A_{\text{O}} = 16} \equiv$$

$$\left[ (A_{\text{He}} = 4) \cdot \left( \pm \int_0^1 \varphi d\varphi \right) = \pm 2 \right] \equiv \pm \lg \rho_1 \rho_2 \rho_3 \rho_4 \rho_5 \equiv \dots \quad (5.44)$$

Возникают семеричные колебания гелий - водород:

$$A_{\text{H}} = 1 \Leftrightarrow A_{\text{H}_2} = 2 \Leftrightarrow A_{\text{He}} = 4 \Leftrightarrow 1, \quad (5.45)$$

где  $1+2+4 = 7 \equiv T_0 + \tau$ .

\*\*

5. Инертный газ только с парадигм нашей науки кажется инертным.

На самом деле, например инертный газ гелий, это вихрь фотон - фононов. Вихрь, который связывает равновесные состояния ( $\pm 1$ ) пульсирующих волн с периодом вращения точечного участка волны света:

<b>Волновое поле гелия в Космосе</b>	
Пульсация Космоса	$\left( \pm \int_0^1 \varphi d\varphi = \pm \frac{1}{2} \right) \Leftrightarrow 2 = \lg \rho_1 \rho_2 \rho_3 \rho_4 \rho_5$
Гелий и поля	$\pm 1 \quad 4 \equiv T_0 \equiv c^2/\omega^2 \equiv (A_{\text{He}} = 4).$

(5.46)

<b>Возникновение Тянь-Цинь</b>		
Название и обозначение	Тянь (Тн) = 64	Цинь (Цн) = 32
Возникновение в фиолетовой волне (рис.5.2)	$V_{\Pi}^1 \lambda_{\phi}^2 \equiv$ $\frac{4}{3} \cdot 64 \cdot 2^{3/4} \equiv$ $\frac{T_0}{\tau} \cdot T_H \cdot 2^{\tau/T_0}$	$\pm V_{\Pi}^1 \cdot \lambda_{\phi}^2 \int_0^1 \phi d\phi =$ $\frac{T_0}{\tau} \cdot T_H \left( \pm \int_0^1 \phi d\phi \right) \cdot 2^{\frac{\tau}{T_0}}$ $\equiv \frac{T_0}{\tau} \cdot Ц_H \cdot 2^{\frac{\tau}{T_0}}$
Искривление энергетического Пространства светом	$m_c V_{\Pi}^1 \lambda_{\phi}^2 \equiv$ $\frac{4}{3} \pi \cdot 4^3 \cdot 2^{3/4}$ <p>Объём шара:</p> $V_{ш} = \frac{4}{3} \pi (R=4)^3$ <p>Фон <math>\equiv 2^{3/4}</math></p>	$\pm V_{\Pi}^1 \cdot \lambda_{\phi}^2 \int_0^1 \phi d\phi:$ $(E_{\lambda} + m_c) = \frac{4}{3} \pi \cdot 16 \cdot 2^{\frac{3}{4}} \equiv$ <p>Поверхность сферы:</p> $Q_{ш} = 4\pi \cdot (R=4)^2.$ <p>Фон <math>\equiv \frac{1}{3} \cdot 2^{3/4}.</math></p>

(5.42)

Над сгустком шара - Тянь и сферическими поверхностями Цинь возникает различный энергетический фон. Это нам известно: подъём над поверхностью массы сжимает величину силы притяжения к массе.

Между шаром - Тянь и сферической поверхностью Цинь возникают колебания (5.42):

<b>Колебания Тянь (шар) и Цинь (поверхность шара)</b>			
Поля	Тянь × фон (R = 4)	Цинь × фон (R = 4)	
		Левизны	Правизны
Формулы	$2^{3/4} \cdot V_{ш}$	$+\frac{1}{3} \cdot 2^{3/4} Q_{ш}$	$-\frac{1}{3} \cdot 2^{3/4} Q_{ш}$
Отношение масс	$\frac{\text{Тянь} \times \text{фон}}{\text{Цинь} \times \text{фон}} = \frac{2^{3/4} V_{ш}}{\pm \left[ \frac{1}{3} \cdot 2^{3/4} \cdot (Q_{ш} - (-Q_{ш})) \right]} \equiv$ $\frac{3 \cdot (V_{ш} = 4/3 \cdot \pi \cdot R^3)}{2 \cdot (Q_{ш} = 4 \cdot \pi \cdot R^2)} = \frac{R}{2} = \frac{4}{2} = 2 = \sqrt{2}^2 = \dots$		

(5.43)

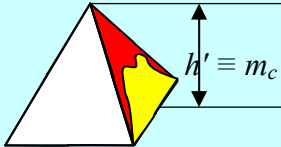
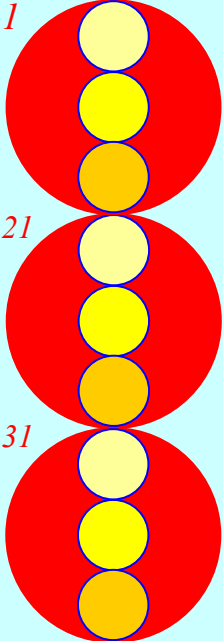
<p>1. Великая Пирамида как векторное описание сгущения Света на фоне Космоса</p>	<p>2. Круг Универсума (Откровения [5]) как векторное описание изменения фона Космоса во взаимодействиях</p>
<p>Фон: <math>23/4 \equiv 2^{\tau/T_0}</math></p>  <p><math>h' \equiv m_c^{**} = 2 \cdot 10^{-3}</math></p> <p><math>a^2 \equiv m_c^* = 8 \cdot 10^{-3}</math></p> <p>Объём: <math>V'_\Pi = \frac{1}{3} a^2 h =</math></p> $\frac{1}{\tau} \cdot m_c^* \cdot m_c^{**} \cdot 2^{3/4} \equiv$ $\frac{1}{3} \cdot 8 \cdot 2^{7/4} \cdot 10^{-6}$ <p><b>Свет в поверхностной фиолетовой волне:</b></p> $V'_\Pi \cdot \lambda_\phi^2 = \frac{4}{3} 64 \cdot 2^{3/4} \equiv \frac{T_0}{\tau} 64 \cdot 2^{\tau/T_0}$ <p>Появление Тянь.</p>	<p>Изменение фона [5]</p>  <p><b>1</b></p> <p>2; 3; 4 20; 30; 40 200; 300; 400</p> <p><b>21</b>      <b>10</b></p> <p>2; 3; 4 20; 30; 40 200; 300; 400</p> <p><b>31</b>      <b>10<sup>2</sup></b></p> <p>2; 3; 4 20; 30; 40 200; 300; 400</p> <p><math>4 \cdot 10^3 \equiv 4000 \equiv \lambda</math></p> <p><math>\lambda_\phi = 4000 \text{ \AA} - \text{фиолетовая волна.}</math></p>

Рис.5.2 Изменение Космического фона и сгущение света в космической среде

Пирамиды газов (рис.5.1), света (рис.5.2) и эпюра Круга Универсума отражают все важнейшие соотношения процесса Сгущения Небесных Тел.

Появление поверхностной фиолетовой волны формирует плазму света в форме диска с потенциалом, равным потенциалу Тянь, то есть 64 (рис.5.2):

<b>Атомный вес гелия - высота Пирамиды</b>
$H = 2^{7/4} = 2^2 \cdot 2^{-1/4} = (A_{He} = 4) \cdot (\sqrt{\sin \pi/4} = 2^{-1/4}). \quad (5.39)$

3. Колебания гелия в поле точечного участка волны света приводит к формированию атомного веса кислорода, а затем и молекулы кислорода.

Пульсация атомарного кислорода в Космосе формирует потенциал-эквивалент площади основания ( $a^2 = 8$ ) великой Пирамиды (рис.5.1.1):

<b>Гелий-кислород – основание Пирамиды. Связь с водородом</b>		
Водород - гелий	Гелий - кислород - водород	
$T_o \equiv T_o \cdot A_H \equiv$ $A_{He} = 4$	$T_o^2 = 16 \equiv T_o \cdot A_{He}$ $\equiv T_o^2 A_H = A_o =$ $16$	$T_o^2 \lg \rho_1 \rho_2 \rho_3 \rho_4 \rho_5 \cdot A_H$ $\equiv T_o A_{He} \cdot 2 \equiv T_o^2 A_H \cdot 2$ $\equiv A_{O_2} = 32$
$a^2 = 8 = \left( A_o \cdot \int_0^1 \varphi d\varphi = 16 \cdot \frac{1}{2} \right) \equiv \frac{32 \cdot 4}{16}.$		

(5.40)

Совместные колебания газовой смеси гелий - водород - кислород будут описываться векторно эпюрой с Пропорциями великой Пирамиды:

4. Свет, созидатель газов, сгущается по законам, количественные отношения в которых описаны пропорциями великой Пирамиды (рис.5.2).

Изменение сред (Космический фон), из которых формируются газы и свет, описаны пропорциями Круга Универсума [5].

$$h = A_H \sqrt{\sin \pi/4} = 1 \cdot 2^{-1/4}. \quad (5.35)$$

Основание Пирамиды с высотой  $h$  (5.34) является потенциал - эквивалентом молекулярному весу водорода (рис.5.1.3):

$$b^2 = 2 \equiv A_{H_2}. \quad (5.36)$$

Объём Пирамиды Водорода, поглощающей свет, формируется полем Арупы с Продолжительностями  $\tau = 3$  и равен:

$$V_H = \frac{1}{3} b^2 h = \frac{1}{3} 2 \cdot 2^{-1/4} = \frac{1}{3} \cdot 2^{3/4} = \frac{1}{\tau} 2^{\tau/T_0} \equiv \frac{1}{\tau} A_{H_2} \cdot A_H \sqrt{\sin \frac{\pi}{4}}. \quad (5.37)$$

Полученное выражение (5.37) описывает **Закон** поступления Тонкой Энергии в поля Энергии Материи микро- макро-сгустков: от субструктур биоклетки до астрономических тел. Причем атомарно-молекулярный водород  $A_{H_2} \cdot A_H \equiv A_{H_3}$  является источником формирования **изотопа водорода - трития**.

Формирование изотопов водорода возмущает окружающую среду и в ней появляется гелий:

$$\int_{H_1}^{H_3} \varphi d\varphi \equiv \frac{1}{2} (3^2 - 1) = 4 \equiv A_{He}. \quad (5.38)$$

2. Появление гелия (5.38) в сжатом сгустке водорода (рис.5.1.3) происходит по законам, которые описывают пропорции новой Пирамиды (рис.5.1.1).

В этой новой Пирамиде потенциал атомного веса гелия, масса которого испытывает влияние колебания реликтового метagalacticкого фона Космоса ( $\sqrt{\sin \pi/4} = \sqrt{\cos \pi/4} = 2^{-1/4}$ ), будет описываться потенциал-эквивалентом высоты (H) великой Пирамиды (рис.5.1):

Пропорциональность компонент Пирамиды сокращается при переходе от атомов к молекуле газов (5.31).

$$\frac{\text{молекулы}}{\text{атомы}} \equiv \frac{32}{16} \equiv \frac{2}{1} \equiv \frac{14}{7} = 2 \equiv A_{\text{He}}. \quad (5.34)$$

Великая Цивилизация знала эти законы (5.31, 5.34).

Ж.Ф.Лауэр, француз, смотритель Пирамид, удивлялся: **Строители были великолепными геодезистами. Они знали, что на диагонали квадрата можно построить новый квадрат с удвоенной площадью относительно первого квадрата [21].**

Этим способом и были возведены Пирамиды.

Пропорциональность, удивившая Лауэра, сохраняется и в сгустках света (рис.5.1):

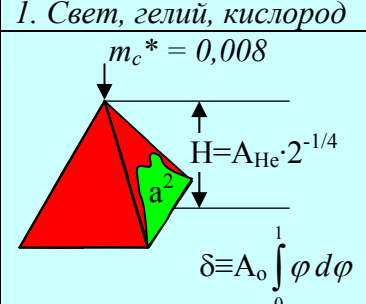
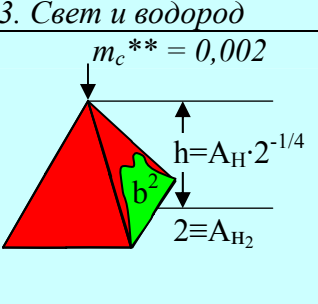
1. Свет, гелий, кислород	2. Азот	3. Свет и водород
	<p>Магнетизм  <math>A_N = 14</math>  <math>\longleftrightarrow</math>  <math>H_{N_2} = 28</math>            гравитация</p>	

Рис.5.1 Великая Пирамида как векторное описание взаимосвязи света и газов (5.3.1)

Векторное описание полей сгустков света и газов пропорциями великой Пирамиды (рис.5.1) освещает множество проблем, в частности следующие моменты:

1. При сгущении водорода водород поглощает сгусток света  $m_c^{**} = 0,002$ .

Высота (h) Пирамиды является потенциал - эквивалентом веса атома водорода в поле колебания метагалактических волн (рис.5.1.3):

<b>Атомно-молекулярные веса газов без <math>m_c^* = 0,008</math></b>				
Веса	Неинертные газы			Гелий
	Кислород	Водород	Азот	
Атомарный	$A_O = 16$	$A_H = 1,008 - m_c^* = 1$	$A_N = 14,008 - m_c^* = 14$	$A_{He} = 4.$
Молекулярный	$A_{O_2} = 32$	$A_{H_2} = 2$	$A_{N_2} = 28$	

(5.31)

На атом гелия (5.31) действуют метагалактические волны Единого Космоса, и атомный вес гелия становится равным по величине высоте ( $H = 2^{7/4}$ ) великой Пирамиды (рис.5.1).

Пульсация атомарного кислорода формирует потенциал - эквивалент площади основания ( $a^2 = 8$ ) великой Пирамиды (рис.5.1):

<b>Пульсация атомарных гелия и водорода</b>	
Гелий: высота (H) Пирамиды	Кислород: основание ( $a^2$ ) Пирамиды
$H = 2^{7/4} \equiv A_{He}(\sin \pi/4 = \cos \pi/4 = \dots)^{1/2} = 4 \cdot 2^{-1/4} = 2^2 \cdot 2^{-1/4}$	$a^2 = 8 \equiv A_0 \left( \pm \int_0^1 \varphi d\varphi \right) = 16(\pm 1/2) = \pm 8$

(5.32)

Скорость формирования сгустков атомов под влиянием Продолжительности  $\tau = 3$  в Арупе и будет потенциал - эквивалентом объема великой Пирамиды:

$$V_{II} = \frac{1}{3} 8 \cdot 2^{7/4} \equiv \frac{1}{3} a^2 H \equiv \frac{1}{\tau} \cdot A_0 \int_0^1 \varphi d\varphi \cdot A_{He} \sqrt{\sin \pi/4}. \quad (5.33)$$

Точечный участок волны света в течении равной продолжительности  $T_0 = 4$  будет формировать в экзотермии гелия и эндотермии молекулярного водорода разные потенциалы (табл.5.3).

Таблица 4.9

**Экзотермия гелия и эндотермия водорода**

Газы	Гелий	Молекулярный водород
Потенциалы	$He_{250}^{2000} \equiv H_1^8$	$(H_2)_{250}^{2000} \equiv (H_2)_1^8$
Термия	$27 = \lg \rho_3 \rho_4 \rho_5 = \lg 10^{12} \cdot 10^{14} \cdot 10^1$	$-25 = \lg \rho_1 \rho_2 = \lg 10^{24} \cdot 10^{-1}$
Пульсация	$\frac{8}{1} \cdot 27 \cdot \left( \pm \int_0^1 \varphi d\varphi \right) = \pm 108$	$\frac{8}{1} \cdot (-25) \cdot \left( \pm \int_1^0 \varphi d\varphi \right) \equiv \mp 100 \equiv \pm \rho_5^2$

Величина потенциала экзотермической реакции гелия чётко совпадает с Числом Реинкарнаций, равному 108 по Буддизму.

Однако в биологической Жизни гелий - водородная приведенная пульсация связана с Кундалини:

$$\pm \frac{108 \cdot 100}{108^2 - 100^2} = \pm \frac{10800}{1664} = 6,5 \equiv (3,5+2,5) = \int_0^1 \varphi d\varphi. \quad (5.30)$$

**5.3 Газы и свет: великая Цивилизация о кинетической теории газов**

Сгущение солнечного эфира в газы: водород, азот, кислород и гелий происходит по законам, описанным порциями великой Пирамиды.

В целях доказательства рассмотрим переход атомарных неинертных газов в молекулярные:

Колебания света между водородом и гелием приводит к сгущению **Небесных Тел (света)** до сгустков с потенциалом **64 (Тянь)**, взаимодействиям с эффективностью  $10^5$ , энергией связи с потенциалом  $5^4$ , и сжимающейся ветви **Кундалини** с потенциалом **2,5** (табл.5.2).

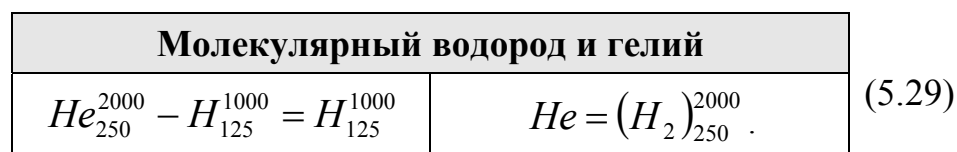
Этот важнейший процесс (табл.5.2) великая Цивилизация подробно описала и передала нам в виде **Книги Перемен**, где **Тянь, Цинь и Сияние Ли** записаны в **Форме Иероглифов**, а ориентиром для понимания Процессов является **Число Иероглифов**.

**Книга Перемен** описывает Эволюцию Живого ещё на уровне микроструктур клеток, например поведение 63 геномов в процессе диссоциации воды (5.15).

\*\*

Химические процессы между водородом и гелием протекают не сами по себе, а инициируются светом (**Сияние Ли**).

Результатом реакции между водородом и гелием является то, что атомарный водород стремительно трансформируется в молекулярный (табл.5.2):



\*\*

Гелий впервые обнаружили в спектре солнца. Это произошло потому, что синтез гелия связан с экзотермией, то есть с взаимодействиями  $\rho_3, \rho_4$  и  $\rho_5$ .

Молекулы водорода имеются в полях глубокой эндотермии, то есть при взаимодействиях  $\rho_1$  и  $\rho_2$ .

\*

\*\*

Тонкая Энергия созидает не только живую биоклетку, но и Периодическую Систему химических элементов: число групп, равное 9 эквивалентно  $\tau^2 = 9$ , а число периодов - ( $T_0 + \tau = 7$ ).

\*

\*\*

**"Проклятие произнесено: они будут рождены в Четвертой, страдать и приносить страдания. Первая война зародилась"** ([1]. Космогенезис. Станца VI).

Применительно к Периодической Системе эта Станца VI (п.5) говорит о том, что в поле света возникли **сгустки Атомов Водорода и Гелия**, а также колебания между ними, затрагивающие электрон-позитронные оболочки (атмосфера) и массы Капель ядерного Вещества (табл.5.1, табл.5.2).

Таблица 5.2

**Свет между водородом и гелием**

Форма записи	В кислородных единицах	В относительных единицах	Относительно сгустков света
	$H_{1,008}^1 \Leftrightarrow He_{4,008}^2$	$H_{1-h}^{8-n} \Leftrightarrow He_{1-n}^{8-m}$	$H_{125}^{1000} \Leftrightarrow He_{250}^{2000}$
Контур колебаний	$\frac{1}{1,008} \Leftrightarrow \frac{4,008}{2}$	$\frac{8(n=1)}{1(n=1)} \Leftrightarrow \frac{1(n=2)}{8(n=2)}$	$\frac{10^3}{125} \Leftrightarrow \frac{250}{2 \cdot 10^3}$
	$\begin{array}{r} 2 \Leftrightarrow 4,008 \\ \times 1,008 \\ \hline 10^{-6} \cdot 64 \end{array}$	$64 \Leftrightarrow 1$ <p style="text-align: center;"><i>Сгусток Тянь</i></p>	$2 \cdot 10^6 \Leftrightarrow 31250$ $2 \cdot 10^5 \Leftrightarrow 55$ $10^5 \Leftrightarrow 2,5 \cdot 54$ <p style="text-align: center;">Кундалини сгущения.</p>

## 5.2 Первый период: свет, водород, гелий

Споры о том, в какой группе находится водород, лишены смысла, ибо водород дрейфует в потоках света (табл.5.1).

Дрейф водорода обеспечивают волны-сгустки света, то есть поле с потенциалом  $\alpha_1^4$  (табл.5.1).

Между электрон-позитронной оболочкой и массой сгустка в поле света возникает резонансно-антирезонансная пульсация:

$$\alpha_1^4 \Leftrightarrow \frac{1}{\alpha_1^4} \quad \text{или} \quad \frac{1 \cdot 4}{4-1} \Leftrightarrow \frac{4-1}{1 \cdot 4} \quad \text{и} \quad T_0^2 \Leftrightarrow \tau^2. \quad (5.28)$$

В Едином Космосе возникла разность потенциалов, которая разделила Космос на Рупу и Арупу.

Деление произошло в пропорциях Священного Треугольника великой Цивилизации.

\*\*

**"5. У Порога Четвертого Сынам указано создавать свои Подобия. Одна треть отказывается, две Повинуются"** ([1]. Космогенезис. Станца IV).

**Порог Четвертого** - это начало формирования Рупы (формы), то есть инерционных систем.

В первом периоде Периодической Системы Элементов роль Рупы выполняют Атомы водорода и гелия.

В Едином Космосе Энергия Материи составляет одну треть от всей Энергии Космоса, а Тонкой Энергии две трети.

Отказ **Одной Трети** от создания своих **Подобий**, и повиновении **Двух Третьей**, говорит о том, что **Источником любой Эволюции является Тонкая Энергия.**

Таблица 5.1

## Периодическая система химических элементов

$$\text{Формула расчёта: } \begin{matrix} X^{2n/m_c^{**}=1000n} \\ n/m_c^*=125n \end{matrix}$$

где n - порядковый номер элемента

1. Число групп формирует Арупа:  $\tau^2 = 9$
2. Число периодов определяет  $T_0 + \tau = 7$ .

		← число групп: $\tau^2 = 9$ →									
		I	II	III	IV	V	VI	VII	VIII	IX	
число периодов: $T_0 + \tau = 7$	1	$m_c^{**}$	← →				$\alpha_1^4$	← →			$m_c^*$
		$H_{125}^1$	← +1000 (n = 1) = 1000 →								$He_{1250}^2$
			← +2000 = 1000 (n = 2) →								
	2	Li <sup>3</sup>	Be <sup>4</sup>	B <sup>5</sup>	C <sup>6</sup>	N <sup>7</sup>	O <sup>8</sup>	F <sup>9</sup>		Ne <sub>250</sub> <sup>10</sup>	
	3	Na <sup>11</sup>	Mg <sup>12</sup>	Al <sup>13</sup>	Si <sup>14</sup>	P <sup>15</sup>	S <sup>16</sup>	Cl <sup>17</sup>		Ar <sub>2250</sub> <sup>18</sup>	
	4	K <sup>19</sup>	Ca <sup>20</sup>	Sc <sup>21</sup>	Ti <sup>22</sup>	V <sup>23</sup>	Cr <sup>24</sup>		Mn, Fe, Co, Ni		
		Cu <sup>29</sup>	Zn <sup>30</sup>	Ga <sup>31</sup>	Ge <sup>32</sup>	As <sup>33</sup>	Se <sup>34</sup>	Br <sup>35</sup>		Kr <sub>4500</sub> <sup>36</sup>	
5	Rb <sup>37</sup>	Sr <sup>38</sup>	Y <sup>39</sup>	Zr <sup>40</sup>	Nb <sup>41</sup>	Mo <sup>42</sup>		Tc, Ru, Ir, Pd			
	Ag <sup>47</sup>	Cd <sup>48</sup>	In <sup>49</sup>	Sn <sup>50</sup>	Sb <sup>51</sup>	Te <sup>52</sup>	I <sup>53</sup>		Xe <sub>6750</sub> <sup>54</sup>		
6	Cs <sup>55</sup>	Ba <sup>56</sup>	La <sup>57*</sup>	Hf <sup>72</sup>	Ta <sup>73</sup>	W <sup>74</sup>		Re, Os, Ir, Pt			
	Au <sup>79</sup>	Hg <sup>80</sup>	Tl <sup>81</sup>	Pb <sup>82</sup>	Bi <sup>83</sup>	Po <sup>84</sup>		At <sup>85</sup>	Rn <sub>10750</sub> <sup>86</sup>		
7	Fr <sup>87</sup>	Ra <sup>88</sup>	Ac <sup>89**</sup>						X <sub>14000</sub> <sup>112</sup>		

\* Лантаноиды: лантаноидное сжатие (табл.5.14)

Группы	1	2	3	4	5	6	7	8
Элементы	La <sup>57</sup>	Ce <sup>58</sup>	Pr <sup>59</sup>	Nd <sup>60</sup>	Pm <sup>61</sup>	Sm <sup>62</sup>	Eu <sup>63</sup>	Cd <sub>8000</sub> <sup>64</sup>
	Ly <sup>71</sup>	Yb <sup>70</sup>	Tm <sup>69</sup>	Er <sup>68</sup>	Ho <sup>67</sup>	Dy <sup>66</sup>	Tb <sup>65</sup>	
Электроны	128	128	128	128	128	128	128	64

\*\* Актиноиды: радиационное излучение (табл.5.13)

Группы	1	2	3	4	5	6	7	8	9	10	11	12	13
Элементы	Ra <sup>88</sup>	Ac <sup>89</sup>	Th <sup>90</sup>	Pa <sup>91</sup>	U <sup>92</sup>	Np <sup>93</sup>	Pu <sup>94</sup>	Am <sup>95</sup>	Cm <sup>96</sup>	Bk <sup>97</sup>	Cf <sup>98</sup>	Es <sup>99</sup>	Fm <sub>12500</sub> <sup>100</sup>
	X <sup>112</sup>	X <sup>111</sup>	X <sup>110</sup>	X <sup>109</sup>	X <sup>108</sup>	X <sup>107</sup>	X <sup>106</sup>	Ns <sup>105</sup>	Ku <sup>104</sup>	Lr <sup>103</sup>	No <sup>102</sup>	Md <sup>101</sup>	
Электроны	200	200	200	200	200	200	200	200	200	200	200	200	100

\*

\*\*

Резонансное поле с Числом Человека (5.24) пульсирует. Резонанс периодически сменяется антирезонансом, и наоборот, на смену антирезонансу приходит резонанс.

**Частоту пульсации поля с Числом Человека можно определить по приведенной резонансно - антирезонансной пульсации:**

<b>Частота пульсации поля с Числом Человека</b>			
Режим	Резонанс	Антирезонанс	
		Сумма	Разность квадратов
Потенциалы	$Чл \pm 112 \cdot 113$	$113 + 112 = 225 = 15^2$	$113^2 - 112^2 = 225 = 15^2$
Разности	$\frac{112 \cdot 113}{225} \Leftrightarrow \frac{225}{112 \cdot 113} \rightarrow (112 \cdot 113)^2 - (225)^2 = \sim 16 \cdot 10^7 = k.$		

Постоянная k (5.25) одна из важнейших постоянных Единого Космоса.

Дело в том, что сгусток света

$$(m_c + E_\lambda)^2 \cdot E_\lambda = 4/\pi^3, \tag{5.26}$$

формирует в поле k электрическую ( $\epsilon_0 = 10^7/4\pi^2$  ф/м) постоянную среды, а волна-частица ( $m_c = E_\lambda = 1/\pi$ ) в сгустке Тянь формирует в поле k (5.25) магнитную постоянную среды ( $\mu_0 = 4\pi \cdot 10^{-7}$  гн/м):

<b>Формирование светом электромагнитных сред</b>		
Среды	Электрическая	Магнитная
Процессы	$(m_c + E_\lambda)^2 m_c = \frac{4}{\pi^3} \equiv 16 \cdot 10^7 \cdot (10^{-7}/4\pi^3 = \epsilon_0) \equiv k \cdot \epsilon_0$	$\frac{64 \cdot 10^7 \cdot 10^{-7}}{m_c} = 16 \cdot 10^7 \cdot 4\pi \cdot 10^{-7} \equiv 16 \cdot 17^7 \cdot \mu_0 = k\mu_0.$

Из этой (5.27) электромагнитной среды Свет формирует Атомы (табл.5.1).

$$\text{Чл} = \pm[6328 - (-6328)] = \pm 12656 = \pm 112 \cdot 113. \quad (5.22)$$

И вновь Библия нам подсказывает: **113 - это Число Человека.**

Всё сходится: сначала была создана Периодическая Система, а затем из Свойств - Сочетаний элементов был создан Человек.

**Человек - это живая энергетическая Система, которая функционирует на базе использования электрических, магнитных и гравитационных полей.**

Такой образ жизни обеспечивается потенциалом 112 (5.22):

$$\text{Чл} = \pm 112 \cdot 113 = \pm(7\sqrt{qq^*} = 8\sqrt{\mu\mu^*} = 4\sqrt{\rho\rho^*}) \cdot 113. \quad (5.23)$$

**Человек - это живая энергетическая Система, в которой рост-вес (масса) была бы подобна сгустку Тянь в оболочке; полушария мозга обладали бы цистранс изомерией Цинь в оболочке; а его Эволюция не нарушала бы Законы Единого Космоса.**

Все эти перечисленные Свойства - Сочетания при-сущи Человеку (5.22):

<b>Эволюционная функциональность Человека</b>			
Функцио-нальность	Электрическая семеричност движения	Магнитная изомерия Цинь	Гравитационное поле Тянь
Потенциал	$\text{Чл} = \pm 112 \cdot 113$ $\equiv 7 \cdot 16^2 \cdot 113 \equiv$ $(T_0 + \tau)qq^* \cdot 113$	$\text{Чл} = \pm 112 \cdot 113$ $\equiv 3,5^2 \cdot 32 \cdot 113 \equiv$ Цинь	$\text{Чл} = \pm 112 \cdot 113$ $\equiv \left(\frac{\tau}{T_0} = \frac{3}{4}\right) \cdot 64 \cdot 113$ Тянь.

(5.24)

Это выражение (5.24) описывает резонансное поле с Числом Человека.

\*

\*\*

Бог Святой Дух - это энергетический Фон Единого космоса, который создается волновыми колебаниями в Арупе:

<b>Структура Бога Святого Духа (5.19)</b>	
Волны	$24 = 3 \cdot 8 \equiv \tau \sqrt{2}^6 \Leftrightarrow \frac{1}{\tau \sqrt{2}^6} = \frac{1}{3 \cdot 8} = \frac{1}{24},$ <p style="text-align: center; margin-top: 0;">где <math>\sqrt{2} = \text{Sc } \pi/4 = \text{Csc } \pi/4</math> и <math>1/\sqrt{2} = \text{Sin } \pi/4 = \text{Cos } \pi/4</math>.</p>

(5.20)

Великая Цивилизация тысячелетиями старается донести до вас, люди сегодняшней Земли, значимость тонко-энергетических волн.

Они дают **величины потенциалов** в пропорциях Священного Треугольника, Круге Универсума, Календаре цивилизации Майи, пропорциях Пирамид, расставленных на Земле.

Боги хотят, чтобы мы сравнили потенциал Святого Духа и объем великой Пирамиды:

<b>Постоянная размножения биоклетки</b>	
	$\frac{\text{Святой Дух}}{\text{Объем Пирамиды}} = \frac{3 \cdot 8 = 24}{\frac{1}{3} \cdot 8 \cdot 2^{7/4}} = (9 + 0) \cdot (H = 2^{7/4}) = \text{Const}.$

(5.21)

**Но и в Древности были Приватизаторы, так что Хеопс переплюнул Ельцина.**

\*

\*\*

В Периодической Системе 112 элементов имеют 6328 электронов (5.14) и столько же позитронов.

Количество электрических зарядов в атмосфере над общей массой 112 элементов, равно

\*

\*\*

Свет пульсирует в Капле ядерного вещества с периодичностью, эквивалентной

$$\rho_3 \left( \pm \int_0^1 \varphi d\varphi \right) = \pm 10 \cdot \frac{1}{2} = \pm 5. \quad (5.18)$$

Возникает Пять Энергетических уровней колебаний, каждый из которых возмущает окружающую среду:

<b>Взаимодействия света в Космосе (5.18)</b>						
Уровни	0	1	2	3	4	5
Среды	Канал экстра-сенсорики	$\pm \int_0^1 \varphi d\varphi$ = $\pm 1/2$	$\pm \int_1^2 \varphi d\varphi$ = $\pm 3/2$	$\pm \int_2^3 \varphi d\varphi$ = $\pm 5/2$	$\pm \int_3^4 \varphi d\varphi$ = $\pm 7/2$	$\pm \int_4^5 \varphi d\varphi$ = $\pm 9/2$
сумма	25-й кадр	$\frac{1+3+5+7+9}{2} - \left( -\frac{1+3+5+7+9}{2} \right) = 25$				
Святой Дух	24-й кадр	$\frac{3+5+7+9}{2} : \int_0^1 \varphi d\varphi = 24 \Leftrightarrow$ $\frac{1}{24} = \frac{2}{3+5+7+9} \cdot \int_1^0 \varphi d\varphi$ <p style="text-align: center;"><b>"Трон Христа на Небе окружен 24 Пресвятыми Престолами"</b> (Откровения).</p>				

\*

\*\*

Материя сгустка пульсирует на фоне пульсации Тонких Энергий.

Энергетический Фон Тонких Энергий при частоте пульсации, равной 25, проникает в нас на уровень Подсознания (25 кадр); при частоте 24 - на уровне Сознания (24-й кадр 5.19).

\*

\*\*

Свет, пульсируя в окружающей среде, изменяет фазовые состояния среды: свет  $\Leftrightarrow$  газы  $\Leftrightarrow$  вода  $\Leftrightarrow$  твёрдая фаза  $\Leftrightarrow$  жидкая плазма [4].

Свет будет характеризоваться эффективностью взаимодействий ( $\rho_5 = 10$ ); газы - появлением в них оболочек ( $7^2 = 49$ ); вода - формированием молекулярного веса воды, равного 18; твёрдая фаза (зола) - появлением углерода с атомным весом 12; жидкая плазма - энергетической плотностью, равной

$$K = \Delta B \cdot r_2^2 \cdot \left( \pm \int_0^1 \varphi d\varphi \right) = 18. \quad (5.16)$$

Направленность фазовых переходов будет диктоваться экзо-эндотермией, что проявит себя в колебаниях между слабыми взаимодействиями и взаимодействиями света:

<b>Фазовая структура Материи Космоса [4]</b>						
Фазы	Солнечный свет	Газы	Вода	Твёрдое (зола)	Жидкая плазма	Люминесцентный свет
Потенциалы	$\rho_5 = 10$	$(T_0 + \tau)^2 = 49$	$M_{H_2O} = 18$	$A_c = 12$	$K[5.16] = 18$	$\rho_2 = 1/10$
Пульсация Вселенной	$\rho_2 \equiv \frac{49 - (18 + 12 + 18)}{10} \equiv \frac{1}{10} \Leftrightarrow 10 \equiv \frac{10}{49 - (18 + 12 + 18)} \equiv \rho_5$					

(5.17)

\*  
\*\*

Пульсируя в электрон-позитронной атмосфере над массой сгустка, свет создает **Капли ядерного вещества**:

<b>Формирование Капель ядерного вещества</b>	
$\int_0^{112/m_c^{**}=56 \cdot 10^3} \varphi d\varphi : \int_{m_c^{**}=0,002}^{m_c^*=0,008} \varphi d\varphi = 1045, (3) \cdot 10^{11} \equiv H^* \cdot 10^{11} .$	(5.14)

В Капле ядерного вещества начинается электролиз с электрохимическим эквивалентом

$$H^* = 0,1045 \text{ мг/А} \cdot \text{сек.} \quad (5.15)$$

Электролиз сменяется диссоциацией в жидких средах, имеющих различную степень ионизации, и далее происходит синтез воды [20]:

<b>Формирование воды из Жидкой Плазмы Света</b>			
Процесс	Эквиваленты	Реакция	Потенциалы
1. Электролиз	Электрохимические	$H^* + 2OH^* \rightarrow$	$= 2 \cdot 0,140 + 2 \cdot 0,177 = 0,563 \text{ мг/Асек}$
2. Диссоциация	Ионизации	$\rightarrow 2H^+ + 2OH^- =$	$2 \cdot 31,5 + 2 \cdot 174 = 63 + 348 = 411$
3. Синтез воды	Молекулярные	$\rightarrow 2H_2O =$	$2 \cdot 18 = 36$
Примечания	1. Потенциалы надо $\times 10^{11}$ (5.14). 2. Справочные данные [20]: $H^+ = 31,5$ ; $OH^- = 174$ ; $H = 0,1040$ ; $OH = 0,177$ .		

\*

\*\*

Начало формирования периодических систем в поле Материи связано с вихрем фотонов, формирующих заряды-импульсы.

Момент равновесия в этих полях определяется потенциалом 112:

<b>Число элементов в периодической системе</b>			
Равновесие в Продолжи- тельности	Электричество в атмосфере	Магнетизм в жидкой плазме	Гравитация в Космосе
$T_0^2(T_0 + \tau) =$ 112	$7\sqrt{qq^*} =$ 112	$8\sqrt{\mu\mu^*} =$ 112	$4\sqrt{\rho\rho^*} =$ 112.

(5.13)

\*

\*\*

В периодической системе химических элементов переход между соседними элементами связан с изменением числа электронов на один электрон ( $\pm 1$ ).

В периодической системе из 112 элементов (5.13) число электронов будет равно сумме арифметической прогрессии и зависит от разности длин волн солнечного белого света в поле гравитации:

<b>Число электронов (позитронов) 112 элементов периодической системы химических элементов</b>	
Сумма арифметической прогрессии	Белый солнечный свет в гравитации
$\frac{1+112}{2} \cdot 112 = 6328$	$(\Delta B = 3600) \cdot \frac{7}{4} + 28 = 6328.$

(5.14)

\*

\*\*

Подход к расчету атомных весов по методу (5.10) вызовет скандал в науке.

Академики всех стран объединятся для борьбы с этим методом: мы тысячелетиями измеряли-проверяли, а он... А я доказываю следующее.

1. Наша наука работает методом Приближения. Она ищет **статическую равновесную точку опоры в пульсирующих неравновесных энергетических Системах Реальности.**

2. Чтобы выполнить условия статического равновесия надо остановить Космос. Это невозможно, но хочется. Поэтому и прижился метод Приближения.

3. Масса атомов пульсирует существуя в динамике. Мы их измеряем. Обрабатываем результаты замера и говорим, например, масса электрона равна [9]:

$$m_e = (9,1091 \pm 0,0004) \cdot 10^{-31} \text{ кг.} \quad (5.11)$$

Причем величину  $\pm 0,0004 \cdot 10^{-31}$  кг списываем на ошибку измерения. Но это не ошибка, а амплитуда пульсации электрона по массе и рассматривать её надо не в статике с ошибкой, а в динамике пульсации:

<b>Масса электрона в динамике <math>\times 10^{-31}</math> (5.11)</b>		
Сжатие	Равновесие	Растяжение
9,1091 – 0,0004	9,1091 $\pm$ 0	9,1091 + 0,0004.

 (5.12)

Не отделяя статику равновесия от динамики движения, **наша наука замерила атомные веса элементов "оптом"...** и зашла в тупик: периодичность роста масс элементов осталась неизвестной.

Полное обозначение энергетического поля атома			
Гелий	He <sup>2</sup>	Элемент 112	X <sup>112</sup>
2000 - электрическое облако He <sub>500</sub> - атомный вес, где: $\frac{2000}{500} = \frac{m_c^*}{m_c^{**}} = 4$		112000 - электрическое облако He <sub>28000</sub> - атомный вес, где: $\frac{28000}{112000} = \frac{m_c^{**}}{m_c^*} = \frac{1}{4}$	

(5.8)

Полное обозначение (характеристика энергетических полей) элементов (5.8), то есть её относительная часть, может быть сокращена, так как мы знаем, что атомный вес элемента в четыре раза меньше его электрон-позитронного облака:

$$He_{500}^{2000} \equiv He_1^4 \quad \text{и} \quad X_{28000}^{112000} = X_1^4. \quad (5.9)$$

Вместе с тем мы знаем, что потенциал электрон-позитронного облака равен порядковому номеру элемента, умноженного на 1000 (5.6):

Взаимосвязь компонент в атоме элемента		
В кислородных единицах	В массах света	Сокращенная запись
$X^n$	$X_{\frac{500n}{4}=125n}^{2 \cdot 500n}$	$X_n^{8n}$

(5.10)

При энергетическом описании элемента с позиции света необходимо сократить запись Д.И.Менделеева, но знать, что электрон-позитронное облако в 1000 раз больше порядкового номера элемента, а его атомный вес меньше потенциала электрического облака в четыре раза (5.10).

Электрон-позитронное облако			
Гелий	He <sup>2</sup>	Элемент 112	X <sup>112</sup>
Расчёт: $\frac{2 \times 2}{m_c^{**}} = \frac{4}{0,002} = 2000$		Расчёт: $\frac{112 \times 2}{m_c^{**}} = \frac{224}{0,002} = 112000$	
Обозначение: He <sup>2000</sup>		Обозначение: He <sup>112000</sup>	

(5.6)

\*\*

Порядковые номера элементов, например 2 для гелия или 112 для элемента X (5.6), могут быть использованы и для определения атомных весов.

**Атомный вес любого элемента равен удвоенному отношению его порядкового номера к массе  $m_c^* = 0,008$ .**

Продолжим пример с гелием и элементом 112:

Атомные веса элементов			
Гелий	He <sup>2</sup>	Элемент 112	X <sup>112</sup>
Расчёт: $A_{He}^* = \frac{2 \times 2}{m_c^{**}} = \frac{4}{0,008} = 500$		Расчёт: $A_{112}^* = \frac{2 \cdot 112}{0,008} = 28000$	
Обозначение: He <sub>500</sub>		Обозначение: He <sub>28000</sub> .	

(5.7)

\*\*

Обозначение Атома любого элемента должно содержать потенциалы и его атомного веса и электрон-позитронной оболочки - атмосферы над массой.

Продолжим пример с гелием и элементом 112:

и тогда, уважаемый Читатель, Вы получите атомные веса элементов не в кислородных единицах, а относительно сгустка  $m_c^*$ .

\*  
\*\*

Условимся обозначать атомные веса в сгустках  $m_c^*$  как символ ( $A_{\text{элемент}}^*$ ) со звёздочкой, отличая его от атомного веса ( $A_{\text{элемент}}$ ) в кислородных единицах (5.3).

\*  
\*\*

**Любую массу микро-макро сгустков Единого Космоса сжимает электрон-позитронное облако энергетической атмосферы.**

Число электронов в Атоме совпадает с его порядковым номером в Периодической Системе.

Для того, чтобы учесть и электрон, и позитрон необходимо порядковый номер элемента увеличить вдвое.

Потенциал электрон-позитронного облака будет определяться по массе  $m_c^{**} = 0,002$  и окажется **равным отношению удвоенной величины порядкового номера элемента на массу  $m_c^{**}$ :**

<b>Потенциал электрон-позитронного облака</b>	
$\frac{2n}{m_c^{**}} = \frac{2n}{0,002} = 10^3 n,$	где $n = 1, 2, 3, \dots, 112$ - порядковый номер элемента.

(5.5)

Пример. Атом гелия имеет два электрона, а атом 112 элемента окружен 112 электронами.

Для того, чтобы вычислить электрон-позитронное облако над этими Атомами необходимо их порядковый номер умножить на два и разделить на  $m_c^{**} = 0,002$ :

Этот элемент  $\alpha_1^4$  (назовём его Светон) даёт начало всей Периодической Системе Химических Элементов (табл.5.1).

\*\*

**Светон является составной частью Атомов всех химических элементов.**

Газы: водород, гелий, азот - поглощают сгустки света и это поглощение определяет их атомные веса, как кратные  $m_c^*$  и  $m_c^{**}$ .

Газы	Водород	Гелий	Азот
Атомные веса, к.е.	$1,008 \equiv 1+(0,008=m_c^*)$	$4,008 \equiv 4+(0,008=m_c^*)$	$14,008 \equiv 14+(0,008=m_c^*)$
Атомные веса и заряды, $m_c^{**}$	$H_{1/0,008=125}^{1/0,002=500}$	$He_{4/0,008=500}^{2/0,002=1000}$	$N_{14/0,008=1750}^{7/0,002=3500}$
Примечание	к.е. - кислородная единица, равная 1/16 атомного веса кислорода.		

(5.3)

\*\*

Для определения истинного атомного веса элементов, из их атомного веса в кислородных единицах сгусток  $m_c^* = 0,008$  надо вычитать (5.3).

Полученные разности между атомными весами в кислородных единицах и массой  $m_c^*$  необходимо делить на эту массу (5.3):

$$A_H^* = \frac{A_H - m_c^*}{m_c^*} = \frac{1,008 - 0,008}{0,008} = 125 ;$$

$$A_{He}^* = \frac{A_{He} - m_c^*}{m_c^*} = 500 ; A_N^* = \frac{A_N - m_c^*}{m_c^*} = 1750 , \quad (5.4)$$

## Глава 5

# Периодическая Система Химических Элементов

### 5.1 Начала формирования

Периодическая система химических элементов начинает формироваться в волновых полях Арупы (вне формы) при  $\tau^2 = 9$  (табл.5.1).

Потенциал  $\tau^2$  определяет число групп Периодической Системы (табл.5.1).

\*\*

Небесные тела (волны Арупы) сгущаются когда попадают в поле Рупы (форма), где  $T_0 = 4$ .

Антирезонанс Арупы - Рупы:

$$(T_0 + \tau) \cdot (T_0 - \tau) = (4+3) \cdot (4 - 3) = 7, \quad (5.1)$$

является определяющим фактором Семеричности полей Природы, в том числе Семи Периодов в химической системе элементов - атомов (табл.5.1).

\*\*

Начало Атомам химических элементов дают сгустки света:  $m_c^{**} = 0,002 \equiv 10^{-3} \cdot T_0 \cdot \omega_0 / c$ , - при сжатии;

$m_c^* = 0,008 \equiv 10^{-3} \cdot T_0 \cdot c / \omega_0$ , - при расширении.

При сжатии формируются массы, при расширении заряды - импульсы (5.2).

<b>Отверждение сгустка света в Атом</b>	
$\alpha_{m_c^{**}}^{m_c^*} \equiv \alpha_{0,002}^{0,008} \equiv \alpha_{0,002/0,002}^{0,008/0,002} \equiv \alpha_1^4,$	(5.2)
где 1 - атомный вес, а 4 - число зарядов-импульсов.	